





KIRŞEHİR İLİNİN JEOTERMAL POTANSİYELİNE DAİR KONUMSAL BİLGİ SİSTEMİNİN OLUŞTURULMASI PROJESİ

SONUÇ RAPORU

Bu Rapor Ahiler Kalkınma Ajansı tarafından desteklenen TR71/13/DFD/0023 numaralı
Doğrudan Faaliyet Desteği Kapsamında hazırlanmıştır.

MART 2014
KIRŞEHİR



KIRSEHİR İLİNİN JEOTERMAL POTANSİYELİNE DAİR KONUMSAL BİLGİ SİSTEMİNİN OLUŞTURULMASI PROJESİ

SONUÇ RAPORU

10.03.2014

www.kirsehir.bel.tr

Kırşehir Belediye Başkanlığı 40100 KIRSEHİR

"Ahiler Kalkınma Ajansı 2013 Yılı Doğrudan Faaliyet Destek Programı kapsamında hazırlanan bu yayının içeriği Ahiler Kalkınma Ajansı ve Kalkınma Bakanlığı'nın görüşlerini yansıtmamakta olup, içerik ile ilgili tek sorumluluk Kırşehir Belediyesi, Kırşehir İl Özel İdaresi ve T.C. Jeotermal Kaynaklı Belediyeler Birliği'ne aittir."

ÖNSÖZ

Ahiler Kalkınma Ajansı'nın açmış olduğu 2013 yılı Doğrudan Faaliyet Desteği programı kapsamında desteklenmeye hak kazanan "Kırşehir İlinin Jeotermal Potansiyeline Dair Konumsal Bilgi Sisteminin Oluşturulması" Projesi, Kırşehir Belediyesi proje sahibi olmak üzere, Kırşehir İl Özel İdaresi ve Jeotermal Kaynaklı Belediyeler Birliği ortaklığında 2014 yılı Mart ayı itibarı ile sonuçlandırılmıştır.

Bu proje ile Kırşehir ilinde bulunan jeotermal alanların tanımlanması ve böylelikle bölgede yapılacak potansiyel yatırımlara ve bölgenin gelişimine katkıda bulunulması amaçlanmıştır. Ayrıca, bölge ile ilgili gerek kamu gerekse özel sektörün elinde bulunan bilgilerin daha efektif ve güncel olarak tek çatı altında toplanması ve gelecekte yapılacak yeni çalışmalara ışık tutması temel amaçlardan biri olmuştur. Bu amaçlar gözetilerek yapılan teknik araştırma ve testlerin ışığında gerçekleştirilmesi öngörülen bilgi sistemi oluşturulmuştur.

TEŞEKKÜR

Bu projenin gerçekleştirilmesinde emeği geçen Kırşehir Belediyesi personellerine;

Proje ortaklarından olan Kırşehir İl Özel İdaresi'nden başta Genel Sekreter Sayın Bektaş AYDOĞAN olmak üzere Tarımsal Hizmetler Müdürü Mehmet TURGUT'a ve Jeoloji Mühendisi Nafi MAHMUTOĞLU'na;

Yine proje ortaklarından olan Jeotermal Kaynaklı Belediyeler Birliği personeli Hidrojeoloji Mühendisi Ökem ÇELEM'e proje süresince gösterdiği çalışmalardan dolayı;

Hacettepe Üniversitesi Su Kimyası ve Çevresel Trinity Laboratuvarı sorumlusu Prof. Dr. Serdar BAYARI başta olmak üzere tüm laboratuvar çalışanlarına;

Hacettepe Üniversitesi Jeoloji Mühendisliği Bölümü Öğretim Üyesi Yrd. Doç. Erdal ŞEN'e mineralojik ve petrografik incelemeler konusunda sağladığı katkılardan dolayı;

Projenin teknik araştırma ve raporlama sürecinde gerçekleştirdikleri çalışmalardan dolayı Anadolu Üniversitesi Yer ve Uzay Bilimleri Enstitüsü çalışanlarından başta Prof. Dr. Galip Berkan ECEVİTOĞLU olmak üzere, Yrd. Doç. Dr. Emrah PEKKAN'a, Yrd. Doç. Dr. Uğur AVDAN'a, Araş. Gör. Dr. Muammer TÜN'e ve Araş. Gör. Resul CÖMERT'e, ayrıca Anadolu Üniversitesi Yer ve Uzay Bilimleri Enstitüsü öğrencilerinden Serkan KAHRAMAN'a, Hasan Burak ÖZMEN'e ve Sunay MUTLU'ya;

Projenin gerçekleşmesini sağlayan, başvuru aşamasından sonuç raporunun teslimine kadar yardımlarını esirgemeyen Ahiler Kalkınma Ajansı'na;

teşekkür ederim.

Yaşar BAHÇECİ
Kırşehir Belediye Başkanı

İÇİNDEKİLER

TEŞEKKÜR	iii
1. GİRİŞ	1
1.1 Amaç ve Kapsam.....	1
1.2 Materyal ve Metod	2
1.3 Önceki Çalışmalar.....	3
2. BÖLGESEL JEOLOJİ VE TEKTONİZMA	4
2.1 Coğrafi Konum ve Bölgesel Tektonizma	4
2.2 Bölgesel Jeoloji ve Stratigrafi	6
2.2.1 Paleotektonik Birimler.....	6
2.2.2 Neotektonik Birimler.....	9
3. HİDROJEOKİMYASAL ÇALIŞMALAR	11
3.1. Majör İyon Analiz Değerlendirmeleri	12
4. KIRŞEHİR TERMAL ALANLARI JEOLOJİK VE JEOKİMYASAL ÖZELLİKLERİ ..	14
4.1 Terme Bölgesi	14
4.1.1 Bölgelinin Jeolojisi	14
4.1.2 Bölgelinin Hidrokımyasal Özellikleri.....	14
4.1.3 Terme Bölgesi Mineralojik ve Petrografik Çalışmalar.....	18
4.2 Karakurt Bölgesi.....	19
4.2.1 Bölgelinin Jeolojisi	19
4.2.2 Bölgelinin Hidrokımyasal Özellikleri.....	19
4.3 Mahmutlu Bölgesi	23
4.3.1 Bölgelinin Jeolojisi	23
4.3.2 Bölgelinin Hidrokımyasal Özellikleri.....	23
4.3.3 Mahmutlu Bölgesi Mineralojik ve Petrografik Çalışmalar	27
4.4 Bulamaçlı Bölgesi	29
4.4.1 Bölgelinin Jeolojisi	29
4.4.2 Bölgelinin Hidrokımyasal Özellikleri.....	29
4.4.3 Bulamaçlı ve Akpınar Bölgeleri Mineralojik ve Petrografik Çalışmalar	33
4.5 Savcılı Bölgesi.....	36
4.5.1 Bölgelinin Jeolojisi	36
4.5.2 Bölgelinin Hidrokımyasal Özellikleri.....	36
5. JEOFİZİK ÇALIŞMALARI	38
5.1 Sismik Yansıma Çalışmaları	38
6. TARTIŞMA VE SONUÇLAR	42
KAYNAKÇA.....	43

1. GİRİŞ

1.1 Amaç ve Kapsam

Yapılan çalışmalar kapsamında Kırşehir ili ve çevresinde bulunan jeotermal kaynakların fizikokimyasal değişkenlerinin ölçümü, hidrokimyasal analizlerinin yapılması, su kayaç etkileşiminin belirlenmesi ve belirli sahalarda jeofizik çalışmalarla jeotermal sistemlerin açıklanması amaçlanmıştır. Tüm çalışmaların ardından konumsal bir veri tabanı oluşturularak sistemlere ait tüm bilgilerin tek bir çatı altında toplanarak güncellenebilir ve daha sonra bölgede yapılması muhtemel çalışmalara altyapı oluşturması hedeflenmiştir.

Kırşehir'de 7 önemli jeotermal saha bulunmaktadır. Bu sahalar, Terme, Karakurt, Çiçekdağı Mahmutlu, Çiçekdağı Bulamaçlı, Kaman Savcılı, Akpınar ve Mucur jeotermal sahalarıdır. Proje kapsamında yapılan çalışmalarla Terme, Karakurt, Mahmutlu, Bulamaçlı, Savcılı ve Akpınar termal sahalardan hidrokimyasal analizler için örneklemeler yapılmıştır. Akpınar, Terme ve Bulamaçlı bölgelerinden kaya örnekleri toplanarak kayaç-su ilişkisi açıklanmaya çalışılmıştır. Son olarak işletilmeyen Akpınar sahasında sismik yansıtma çalışmaları yapılarak sisteme jeotermal akışının olduğu fay modeli açıklanmaya çalışılmıştır.

Çalışmaların amacı, henüz istenilen düzeyde işletmeye açılamamış olan bu bölgelerde araştırma ve işletme kuyu noktaları belirleyebilmekle birlikte bir bütün olarak Kırşehir ve çevresinde bulunan jeotermal sahaların ortak bir veri tabanında sunularak birbirleriyle olan ilişkilerinin açıklanmasıdır. Güncellenebilir bir veri tabanı ile bölgedeki jeotermal sistem ya da sistemlere ait bilgilerin bir arada sunulması, gelecekte işletmeye yönelik yapılacak olan çalışmalar için de ön bir bilgi sistemi niteliğinde olacaktır. Bu da yapılacak çalışmalarla hem ekonomi hem de zaman bakımından kazanç sağlanmasına yardımcı olacaktır.

1.2 Materyal ve Metot

Proje kapsamında yapılan uygulamalar; arazi çalışmaları, laboratuvar çalışmaları ve son olarak veri analiz ve değerlendirme çalışmalarıdır.

Uygulamalara başlamadan önce literatür taraması yapılmıştır. Bölgede önceden yapılmış jeolojik, jeofizik ve hidrojeokimyasal çalışmalar literatür taraması kısmında özellikle dikkate alınmıştır. Literatür bilgileri göz önüne alınarak elde edilen jeolojik bilgiler çalışmalar için gerekli olan ön bilgiyi sağlamıştır.

Uygulamalara hidrojeokimyasal analizler için gerekli örnekleme çalışmaları ile başlanmıştır. Örnekleme noktalarının belirlenmesi için geçmiş çalışmalarla birlikte, Kırşehir Belediyesi'nin ve Kırşehir İl Özel İdaresi'nin bilgisine başvurulmuştur. Elde edilen bilgiler doğrultusunda, 6 termal sahada toplamda 21 termal ve soğuk su kaynağından majör iyon, iz element ile SiO_2 ve bor analizleri için örnekleme yapılmıştır. Örnекlemeler, majör iyon, iz element analizleri için 1 litrelilik polipropilen şişelere katkısız olarak yapılırken, SiO_2 ve bor analizleri için saf su ile %10 seyreltik halde, 100 ml'lik polipropilen şişelere yapılmıştır (10 ml. örnek ile 90 ml. saf su karşımı). Örnekleme sırasında sahada sıcaklık, pH, EC (elektriksel iletkenlik), TDS (toplam çözünmüş katı madde), Sal (tuzluluk) değişkenleri kaydedilmiştir. Örnek şişeleri üzerine önceki çalışmalardan belirlenen kaynak ya da kuyu adına bağlı kalınarak kodlanmıştır. Toplamda üç gün süren örnekleme çalışmalarının ardından örnekler, hidrokimyasal analizler için Hacettepe Üniversitesi Su Kimyası ve Çevresel Tritium Laboratuvarı'na teslim edilmiştir. Analiz sonuçları Schoeller, Piper ve dairesel diyagramlar üzerinde değerlendirilmiştir. Ayrıca uygun jeotermometre uygulamaları yapılarak bölgelerin jeotermal potansiyellerine dair bilgiler edinilmiştir.

Su örnekleme çalışmaları ile birlikte kaynak çıkış noktalarına yakın olan beş noktadan kayaç örneklemesi yapılmıştır. Kayaç örneklerinden, ince kesitler hazırlanarak mineralojik-petrografik incelemeler yapılmıştır. Bu sayede su – kayaç ilişkisine dair bilgiler edinilmeye çalışılmıştır.

Jeofizik çalışmalar kapsamında iki noktada sismik yansımaya yöntemi uygulanmıştır. İki sismik hat da Akpınar bölgesinde uygulanmıştır. Bu çalışmada 120 kanal, 1200 m. uzunlığında sismik hatlar üzerinde veri toplanmıştır. Çalışmanın amacı, bölgede termal

çıkış olan fayın geometrisinin belirlenmesi ve gelecekte yapılması muhtemel araştırma – üretim sondaları için noktalar önerilmektedir.

Çalışmalarda toplanan verilerin ve yapılan analizlerin tamamı coğrafi bilgi sistemleri aracı kullanılarak oluşturulan veri tabanına kaydedilmiştir. Bu sayede konumsal ilişkiler kurularak sistemler daha basit olarak açıklanmaya çalışılmıştır.

1.3 Önceki Çalışmalar

Bölgede yapılan arazi çalışmaları öncesinde literatür taraması yapılarak önceden yapılmış olan bir dizi jeolojik, jeokimyasal ve jeofizik çalışmalar incelenmiştir.

Karakuş ve Çetin (2003), "Jeotermal Enerjinin Kullanım Alanları ve Kırşehir Örneği" başlıklı yaptıkları çalışmada bölgede jeotermal enerjinin kullanım alanlarından ve jeotermal enerjiyi sağlayan fiziksel koşullardan bahsetmişlerdir. Buna göre Kırşehir'de jeotermal enerji ile 1800 konut ısıtılmaktadır. Konut ısıtma faaliyetleri ile birlikte seracılık ve kaplıca olarak da kaynaklardan faydalанılmaktadır. Potansiyelin tam olarak değerlendirilmesi halinde ısıtma kapasitesinin 7000 konuta ulaşacağı öngörmektedir. Kırşehir, Kızılırmak havzasının orta bölümünde ve İç Anadolu kıvrım dağlarının temelini oluşturan Orta Anadolu Platosu üzerinde yer alır. Kırşehir Masifi olarak adlandırılan dağlık alan, ana plato üzerinden kuzeye başlayıp güneybatıya ve güneydoğuya doğru uzanmaktadır. Kırşehir Platosu tektonik kökenli olduğu için, jeotermal enerji potansiyeli bakımından uygun koşullara sahiptir. Bölgede Terme, Karakurt, Mahmutlu ve Bulamaçlı'daki sıcak su kaynaklarından kaplıca olarak faydalанılır. Bölgede yapılan çalışmaların ardından Terme alanında beş kuyu açılmıştır. Bunlardan en verimli olan Terme-5 kuyusunda 273 m. derinliğinde, 57 °C sıcaklığında ve 175 l/s. debili su artezyen yapmıştır. Açılan diğer kuyulardan 365 m. derinlikte, 53.2 °C sıcaklığında, 10 l/s debili T-2 kuyusu, 333 m. derinlikte, 40 °C sıcaklığında, 40 l/s debili T-3 kuyusu ve 100 m. derinlikte, 37 °C sıcaklığında, 60 l/s debili T-4 kuyusu açılmıştır. T-2 kuyusu hariç diğer kuyular halen kullanılmaktadır. Karakurt bölgesinde bulunan jeotermal kaynağın sıcaklığı 55 - 60 °C, debisi 10 l/s'dir.

Temiz, 2004, Kırşehir, Boztepe ve Akpınar bölgesinde yaptığı çalışmada, Orta Anadolu Kristalen Karmaşığı ve Tersiyer örtüsü, Geç Miyosen – Pliyosen ve sonrası oluşmuş tektonik yapılar üzerine çalışmıştır. Bölgede gelişen Holosen ve Holosen öncesi olmak üzere iki farklı tektonik faz tanımlanmıştır. Holosen döneminde, Akpınar Fayı üzerinde

19.04.1938 tarihli 6.6 büyüklüğünde bir deprem meydana gelmiştir. Akpınar fayı ile birlikte Seyde Fay Zonu üzerinde, Seyfe çek-ayır havzasını oluşturur. Bu havza içerisinde termal çıkış noktası bulunur.

Çağlayan, 2010, Savcılı Fay Zonunda yaptığı çalışmada, faylanmanın kökenini ve kinematik analizlerini yapmıştır. Buna göre Savcılı Fay Zonu, KB-GD doğrultulu, ters fayların egemen olduğu ve GB eğimli fay düzlemlerinin olduğu bir alandır.

1. BÖLGESEL JEOLOJİ VE TEKTONİZMA

1.1 Coğrafi Konum ve Bölgesel Tektonizma

İç Anadolu Bölgesi'nin Orta Kızılırmak Bölümü'nde yer alan Kırşehir kentinin yüzölçümü 1602 km^2 ve nüfus yoğunluğu da 72 kişidir. Kırşehir ili, doğu ve güneydoğudan Kozaklı, Hacıbektaş ve Gülşehir (Nevşehir), güneyden Ortaköy (Aksaray), güneybatı ve batıdan Şereflikoçhisar ve Bala (Ankara), kuzeybatıdan Keskin ve Delice (Kırıkkale) ile kuzey ve kuzeydoğudan Yerköy ve Şefaatli (Yozgat) ilçeleriyle komşudur (Karakuş ve Çetin, 2003).

Neotektonik dönemde Türkiye ve çevresini tektonik olarak şekillendiren yapılar, sağ yanal doğrultu atımlı olan Kuzey Anadolu Fay Zonu (KAFZ), sol yanal doğrultu atımlı Doğu Anadolu Fay Zonu (DAFZ) ve Ölü Deniz Fay Zonu (ÖDFZ) ve Helenik ve Kıbrıs dalma batma zonlarıdır (Temiz, 2004). Bu ana tektonik yapılar dışında Anadolu Levhası'nda oluşan fay zonları mevcuttur; bu fay zonları, sol yanal atımlı Orta Anadolu Fay Zonu (OAFZ), sağ yanal atımlı Tuzgölü Fay Zonu (TGFZ), İnönü-Eskişehir ve Akşehir oblik normal fay zonlardır (Koçyiğit ve Özcar, 2003; Temiz, 2004). Genel olarak Türkiye ve çevresinin paleo-tektonik birimleri Şekil 1'de gösterilmiştir (Çağlayan, 2010).



Şekil 1. Türkiye ve yakın çevresinin paleo-tektonik birimleri (Çağlayan, 2010).

Kırşehir ve çevresinde, Akpınar ve Boztepe arasında yoğunlaşan normal fay ve sağ yanal atımlı doğrultu atımlı faylar yer almaktadır (Temiz, 2004) ve Kırşehir'in kuzeybatısında Hirfanlı Barajı'nın kuzeyinde yer alan birbirine paralel olarak uzanan birçok faydan oluşan Savcılı Fay Zonu (Oktay, 1981) yer almaktadır (Çağlayan, 2010). Bu tektonik yapınlara ilaveten Kaman ve Avanos ilçeleri arasında uzanan normal bir fay olan ve 20 km genişlikte 140 km uzunluğa sahip olan normal fay özelliğindeki Salanda Fay Zonu (Koçyiğit, 2003), 120 km uzunlığında ve birkaç km genişliğinde sağ yanal doğrultu atımlı olan Kırşehir doğusunda yer alan Seyfe Fay Zonu, Kırşehir kuzeyinde ise Yerköy fayı yer almaktadır (Koçyiğit, 2003; Temiz, 2004).

Kırşehir'in doğusunda Taşkovan Köyü'nden başlayan ve Seyfe Gölü'ünü sınırlayan Seyfe Fay Zonu'nda birbirine paralel birçok fay yer almaktadır. Taşkovan Köyü ile Akpınar İlçesi arasında KB-GD doğrultulu sağ yanal doğrultu atımlı Akpınar Fayı yer alır. Akpınar ilçesinin kuzey doğusunda Manahözü Deresi boyunca sağ yanal doğrultu atımlı Manahözü Fayı yer almaktadır. Akpınar ve İsahtocalı ilçesinin doğusundan başlayan ve Tosunburnu ile Çoğun köylerine kadar uzanan Tosunburnu ve Çoğun fayları yer almaktadır. Boztepe ilçesinin batısında sağ yanal doğrultu atımlı ve normal bileşeni ile

karakterize edilen Boztepe Fayı bulunur. Boztepe ilçesinin güneybatısında eğim atımlı normal fay özelliği gösteren Gümüşkent Fayı bulunur. Kırşehir'in de içinde bulunduğu Naldöken Dağı ve doğuda Kervansaray Dağı ile sınırlanan normal fay özelliğine sahip Kırşehir Fayı yer almaktadır. Kırşehir'in batısında belirgin çizgisellikler sunan Karıncalı Köyü yakınlarında Karıncalı Fayı ve Gülütarla Köyü'nün güneybatısında Gülütarla Fayıları bulunmaktadır (Temiz, 2004).

Kırşehir ve çevresi depremsellik olarak incelendiğinde bölge çok aktif bir bölge değildir, fakat geçmişte bölgede yıkımlara neden olan depremler meydana gelmiştir. Meydana gelen bu depremlerden biri de 19 Nisan 1938 tarihinde büyüklüğü M_S : 6.8 olan Akpinar Fayında meydana gelen Akpinar (Kırşehir) depremidir (Temiz, 2011).

1.2 Bölgesel Jeoloji ve Stratigrafi

Kırşehir ve çevresi genel olarak metamorfik kayaçlar, plütonik kayaçlar, mafik kayaçlar ve örtü birimleri olarak tanımlanabilir. Bu birimler Paleotektonik Birimler ve Neotektonik Birimler olarak ikiye ayrılabilir. Bölgeye ait jeoloji haritası 16 adet 1/25000 ölçekli jeoloji haritasının birleştirilmesiyle oluşturulmuştur ve rapor sonunda EK-1 olarak sunulmuştur.

2.2.1 Paleotektonik Birimler

Kırşehir ve çevresi, Niğde ve Orta Anadolu fay zonları, güney batıda Akşehir Fay Zonu, kuzeyde ise İzmir-Ankara-Erzincan Kenet Kuşağı ile sınırlanan bir bölgedir. Bu bölgede Orta Anadolu Kristalen Karmaşığı, metamorfik, ofiyolit ve plütonik kayaçlardan oluşmaktadır (Erler ve ark. 1991; Kuşçu ve Erler, 1998). Bu birimler farklı araştırmacılar tarafından Kırşehir Masifi (Seymen, 1981) veya Kırşehir Kristalen Masifi (Bailey ve McCallien, 1950; Egeran ve Lahn, 1951), Orta Anadolu Masifi veya Kızılırmak Masifi (Ketin, 1955, 1963; Erkan ve Ataman, 1981) gibi isimlerle adlandırılmıştır. Aynı kaya birimleri yerel olarak Akdağmadeni Masifi (Vache, 1963), Niğde Masifi (Göncüoğlu, 1977) olarak adlandırılmıştır. Bölgenin kuzeydoğusundaki Akdağmadeni Masifi ile güneyinde Niğde Masifi arasında kalan Kırşehir Masifini de içine alan bölge Orta Anadolu Kristalen Karmaşığı (OAKK) olarak adlandırılması önerilmiştir (Göncüoğlu ve ark. 1991, 1992).

Bölgelin temel kaya birimlerini, Kaman Grubu olarak adlandırılan Kalkanlıdağ, Tamadağ ve Bozçaldağ formasyonları oluşturmaktadır (Seymen, 1981). Kalkanlıdağ Formasyonu gnays, biyotitşist, piroksenşist ve yer yer rastlanan mermer bantları ve kalşistlerden oluşur. Bu birim üzerinde ise mermer ve kalkşistlerin ardalanmasından oluşan Tamadağ Formasyonu yer alır. En üstte ise mermerlerin hakim olduğu Bozçaldağ Formasyonu yer almaktadır (Temiz, 2004). Bu birimler, Jura-Kampaniyen yaşılı ofiyolitik (Ankara Karışığı) karışık ile bunun üzerinde yer alan ultramafik (Karakaya ultramafiti) kayalar tarafından üzerlenir (Seymen, 1985). Bu birimler karasal kırıntılarından oluşan Asmabogazı ve Kartal formasyonları tarafından uyumsuzlukla örtülür (Görür, 1981). Tüm bu birimler Paleosen yaşılı diyorit, granodiyorit ve kuvars monzonit bileşimli derinlik kayaçlarından olmuş Baranadağ Plütonu ve nefelinli siyenit ve lösit porfirlerden oluşan Buzlukdağ Plütonu tarafından dokanaklarla kesilmektedir (Temiz, 2004). Temel kayalar olarak tanımlanan birimler, İpresiyen-Kuvaterner yaşılı örtü birimlerince uyumsuzlukla örtülür (Seymen, 1981). Bölgede temel kayalar üzerine uyumsuz olarak gelen örtü birimleri, İncik ve Kızılırmak formasyonları ile Kuvaterner yaşılı depolanmalardan oluşur. Geç Eosen-Oligosen yaşılı İncik Formasyonu, karasal ortamda depolanan kırmızı alacalı renkli çakıltaşısı, kumtaşısı ve çamurtaşısı ardalanmalarından oluşur (Birgili ve ark. 1975; Akgün ve ark. 2002). Bölgeye ait paleotektonik birimlerin stratigrafi kesiti Şekil 2'de gösterilmektedir (Çağlayan, 2010).

The diagram illustrates a geological cross-section with the following stratigraphic units and their corresponding names from two sources:

	Seymen (1981a, 1982)	Seymen (2000)
Pliyosen İpresiyen	Tortul Örtü	Tortul Örtü
Paleosen	Buzluk Dağ Plütunu	Buzluk Dağ Siyeniyoyidi
	Barana Dağ Plütunu	Baranadağ Dağ Granitoyidi
	Kötü Dağ Volkaniti	Karahıdır Volkaniti
Geç Maestrihtiyen	Asmabogağı Formasyonu	Asmabogağı Formasyonu
	Kartal Formasyonu	Kartal Formasyonu
	Karakaya Ultramafiti	Yazıldızu Ultramafiti
Jura-Kampaniyen	Tektonik Dokanak	Tektonik Dokanak
	Ankara Karışığı	Ankara Karışığı
	Tektonik Dokanak	Tektonik Dokanak
Mesozoyik Öncesi	Bozçal Dağ Formasyonu	Bozçal Dağ Mermerleri
	Tama Dağ Formasyonu	Tama Dağ Metamorfitleri
	(Kabak Tepe Metakuvarsit Üyesi)	Kabak Tepe Kuvarsitleri
	Kalkanlı Dağ Formasyonu	Kalkanlı Dağ Formasyonu
		Ölçeksiz
		Kaman Grubu
		Kaman Karması

Sekil 2. Bölgeye ait paleotektonik birimlerin stratigrafik kesiti (Çağlayan, 2010).

Bu birimler üzerinde ise uyumsuz olarak çakıl, kum, kil depolanmasından oluşan Geç Miyosen-Pliyosen yaşlı Kızılırmak Formasyonu gelir. Kızılırmak Formasyonu üzerinde ise Kuvaterner yaşlı alüvyon, eski alüvyon taraçaları, alüyal yelpaze ve traverten depolanmaları yer alır.

2.2.2 Neotektonik Birimler

Bölgede bulunan paleotektonik birimler, geç Miyosen-Pliyosen ve Kuvaterner yaşı sedimanter kökenli kayaçlar tarafından açısal uyumsuzlukla örtülür. Bölgede yaygın olarak yüzeylenen örtü kayaçlarını, Geç Miyosen-Pliyosen yaşı Kızılırmak Formasyonu ve Kozaklı Üyesi ile Kuvaterner yaşı depolanmalar oluşturur. Örtü kayaçları, neotektonik birimler olarak adlandırılmaktadır (Temiz, 2004).

Bölgeye ait neotektonik birimlerin stratigrafik kesiti Şekil 3'te gösterilmektedir (Çağlayan, 2010). Pliyosen yaşı Kızılırmak Formasyonu Çağlayan 2010 tarafından Akkaşdağı Formasyonu olarak düzenlenmiştir.

PALEOZOYIK	GEÇ MİYOSEN - PLİYSEN	KUVATERNER	YaŞ	FORMASYON	ÜYE	KALINLIK (M)	SEMBOL	AÇIKLAMALAR		Neotektonik Birimler
	KIZILIRMAK	KOZAKLI						Qtr: Taraça çakılları, çok tür bileşenli tutturılmış çakıllar Qal: Dere yataklarındaki çimentolanmamış çakıl, kum, silt ve kil Qaly: Alüvyon yelpazesi çimentolanmamış mermer ve şist kökenli çakıltıları Qtrv: Çatlak sırtı traverten oluşumları <small>Açık beyaz renkli çamurtaşı</small>		
								Beyaz renkli gölsel kireçtaşı		
								Bej renkli kireç oranı yüksek çamurtaşı		
								Beyaz renkli gölsel kireçtaşısı		
								Beyaz renkli tuf		
								Kahverenkli çok tür bileşenli çakıltası, kaba kumtaşısı ardalanması		
								Mermer, şist, gnays, kalkşist		
									Temel Birimler	Neotektonik Birimler ?

Şekil 3. Bölgeye ait neotektonik birimlerin stratigrafik kesiti (Temiz, 2004).

Kızılırmak Formasyonu neotektonik birimlerin en yaşlı olanıdır. Kızılırmak formasyonu Kırşehir ve batısında yer alan Karıncalı Köyü'nde ve Seyfe Gölü çevresinde kırmızı kiremit rengi ile gözlemlenmektedir. Kırşehir ve çevresinde topografyanın yükseldiği bölgelerde bulunan metamorfik kayaçların fiziksel ve kimyasal ayrışması ile parçalanan malzemenin taşınarak yamaç molozu, alüvyon yelpazesi ve düzlik alanlarda depolanması ile yüzeylenir. Kızılırmak Formasyonu'nun üst seviyelerinde yatay konumlu beyaz, gri, bej renkli kıırıntı içerikli ve boşluklu kireçtaşı, çamurtaşları Kozaklı kireçtaşı üyesi olarak tanımlanmıştır (Kara ve Dönmez, 1990). Kozaklı kireçtaşı üyeleri Kırşehir'in kuzeyinde Çoğun Köyü'nün güneybatısındaki Malhüyük Tepe'de, Kırşehir'in kuzeybatısında yer alan Külhüyük Köyü kuzeyinde ve kuzeydoğusunda, Akpınar'ın doğusunda yer alan Kartalkaya Köyü doğusunda gözlemlenmektedir (Temiz, 2004).

Kuvaterner yaşlı birimler ise eski alüvyon taraçaları, alüvyon, alüvyon yelpazesi ve travertenlerden oluşmaktadır.

Eski alüvyon taraçası, Kırşehir'in kuzeyinde yer alan Kızılcaköy doğusunda küçük bir alanda yüzeylenir. Kırşehir'in kuzeyinde yer alan Kızılköy doğusunda küçük bir alanda yüzeylenir ve tutturulmuş çok tür bileşenden oluşan çakıltaşlarından oluşan taraçanın ortalama kalınlığı 3.5 - 4 metre arasında değişmektedir (Temiz, 2004).

Alüvyon ise bölgede bulunan dere yataklarını kaplayan çakıllı, kumlu ve siltli depolanmalardan oluşan birimdir (Temiz, 2004).

Alüvyon yelpazesi depolanmaları ise yaşlı birimlerin üzerini kaplar ve vadi tabanında çökelmekte olan alüvyonlarla yanal geçişlidir. Alüyal yelpazelerin oluşumları, tipik olarak Akpınar İlçesi'nin kuzeydoğusunda yer alan Manahözü Deresi'nde gözlenir. Manahözü Deresi'nin kuzey ve güneyindeki yüksek alanları sınırlayan faylara bağlı olarak gelişen alüyal yelpazeler, gerek Manahözü Deresi'nin kuzeyinde, gerekse güneyinde yer almaktadır. Alüyal yelpazelerin çok tür bileşenden oluşan, irili ufaklı çakıltaşlarından oluşur. Kırşehir Travertenleri bölgedeki en genç birimleri oluşturmaktadır (Temiz, 2004). Kırşehir'de Kuşdili, Kayabaşı ve Ahi Evran mahallesinde olmak üzere yedi farklı bölgede yüzeylenirler. Kuşdili mahallesinin Terme semtinde Kılıçözü deresine paralel konuma sahip çatlaklı travertenler gelişmiştir. Bu travertenlerin renkleri turuncu, kahverengi ve krem renkli olarak gözlemlenmektedir. Kayabaşı mahallesinde bulunan traverten biriminin oluşumları birbirine benzemektedir fakat

boyutları ve çatlak açıklıkları birbirinden farklıdır. Ahi Evran mahallesinde yüzeylenen aşınmış örtü travertenler ise açık gri renkte ve çok küçük alanda gözlemlenir (Temiz, 2004).

2. HİDROJEOKİMYASAL ÇALIŞMALAR

Hidrojeokimyasal çalışmalar kapsamında çalışma alanında 21 noktada örnekleme yapılmıştır (Tablo 1). Örneklerden major iyon, SiO_2 – Bor ve iz element analizleri Hacettepe Üniversitesi Su Kimyası ve Çevresel Trityum Laboratuvarı'na yaptırılmıştır. Örnekleme sırasında, pH, EC, tuzluluk, TDS gibi parametreler de konum bilgisi ile birlikte kaydedilmiştir (Tablo 1). Yapılan örneklemelerin detaylı konum ve değişken tablosu EK-2 olarak sunulmuştur. Analiz sonuçları hidrokimyasal çalışmalarda geleneksel olarak kullanılan Schoeller, Piper ve dairesel diyagramlarla değerlendirilmiştir. Yapılan tüm analizler dair detaylı veri tabloları rapor sonunda ek olarak sunulmuştur.

Koçak, 2001 tarafından yapılan sıcaklık sınıflamasına göre jeotermal sahalar düşük, orta ve yüksek sıcaklıklı sahalar olmak üzere üçe ayrırlar. Çalışma alanındaki jeotermal sular $20 - 70^{\circ}\text{C}$ aralığında olduğundan Kırşehir sahaları düşük sıcaklıklı olarak tanımlanabilir. Çalışma alanında batıdan doğuya doğru gittikçe sıcaklığın arttığı görülmektedir.

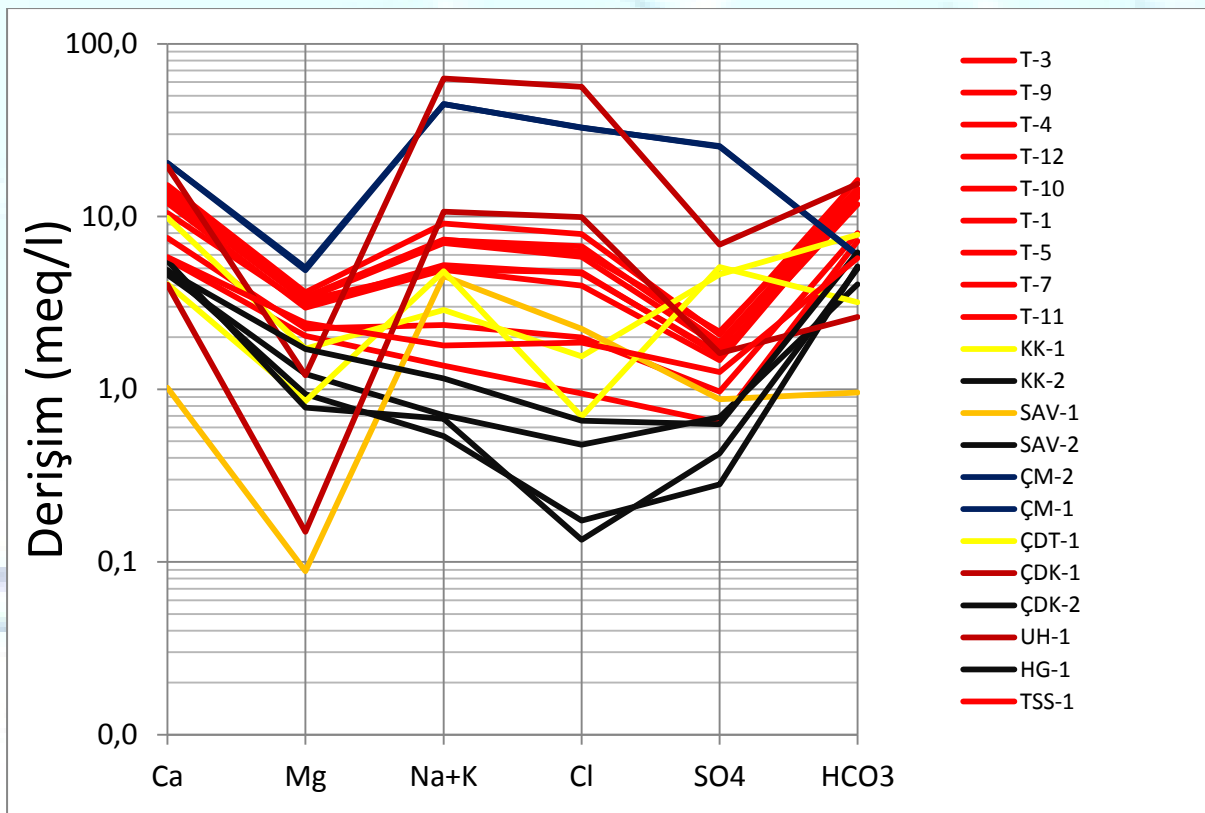
Sıcak sularda ölçülen en küçük EC değeri 542 iken en büyük değer 7388'dir. Bu değerler farklı termal sahalarda farklı su-kayaç etkileşimi olduğunu gösterebilir. Ölçülen en küçük EC değeri Savcılı sahasında bulunan sıcak su kaynağı iken en yüksek değer Bulamaçlı sahasındadır. Savcılı sahası çalışma alanının güneybatı, Bulamaçlı kuzeydoğu sınırlıdır. Buna göre güneybatıdan kuzeydoğuya gittikçe su-kayaç etkileşiminin daha fazla olduğu ve buna bağlı olarak EC değerinin sıcaklık ve akım yönüne bağlı olarak arttığı söylenebilir.

Örnek Kodu	Örnekleme Yeri	T (°C)	pH	EC (mS/cm)	TDS(g/L)	Sal	Kaynak Türü
T-3	İsı Merkezi	49.6	6.58	1757	1.14	0.85	Sıcak Kuyu-Artezyen
T-9	İsı Merkezi	52.82	6.82	2087	1.356	1.02	Sıcak Kuyu-Artezyen
T-4	İsı Merkezi	56.01	6.5	2070	1.147	0.9	Sıcak Kuyu-Artezyen
T-12	İmam Hatip Yanı	46.29	6.39	2383	1.58	1.21	Sıcak Kuyu-Artezyen
T-10	Temur Otelin Arkası	48.6	6.27	2070	1.377	1.04	Sıcak Kuyu-Artezyen
T-1	Grand Terme Otel	58.6	6.5	1815	1.18	0.87	Sıcak Kuyu-Artezyen
T-5	Grand Terme Otel	32	7.23	795	0.516	0.38	Sıcak Kuyu-Artezyen
T-7	Grand Terme Otel	35	6.59	1090	0.708	0.53	Sıcak Kuyu-Artezyen
T-11	Makissos Otel Kuyusu	50.82	6.65	1673	1.083	0.8	Sıcak Kuyu-Artezyen
K-1	Kurutma Tesisi	50.07	6.68	1265	0.822	0.6	Sıcak Kuyu
KÇ-1	K. Tesisi Önü Çeşme	14.54	7.89	552	0.358	0.27	Soğuk Çeşme
SB-1	Savcılı Eski Hamamı	34.38	9.24	542	0.352	0.26	Doğal Kaynak
SBÇ-1	Savcılı Mezarlık Çeşme	13.85	8.29	649	0.418	0.31	Soğuk Çeşme
ÇM-2	Çiçekdağı - Yiğit Seracılık	75.37	6.77	6170	4.007	3.12	Sıcak Kuyu-Artezyen
ÇM-1	Çiçekdağı - Yiğit Seracılık	68.59	6.92	6281	4.082	3.2	Sıcak Kuyu-Artezyen
ÇDC-1	Doğankaş Köyü Çeşmesi	13.33	8.4	810	0.525	0.4	Soğuk Çeşme
ÇB-1	Bulamaçlı - ÇB-1 Ruhsat Adlı	45.34	6.67	7388	4.801	3.94	Sıcak Kuyu-Artezyen
ÇAÇ-1	Akçakent Yolu Soğuk Su	11.64	7.63	567	0.369	0.28	Soğuk Çeşme
A-1	Akçakent Uyuz Hamamı	29.47	8.19	1499	0.974	0.62	Doğal Kaynak
HG-1	Hilla Gölü	19.45	7.08	711	0.462	0.3	Doğal Kaynak - Gölet
TÇ-1	Merkez - Terme Bölgesi	13.76	7.38	874	0.568	0.43	Soğuk Çeşme

Tablo 1. Su Örnekleme Yerleri ve Fizikokimyasal Değişkenler

3.1 Majör İyon Analiz Değerlendirmeleri

Majör iyon analiz değerlendirmeleri yarı logaritmik Schoeller, Piper ve dairesel diyagramlar aracılığı ile yapılmıştır. Öncelikle Schoeller diyagramı kullanılarak benzer ve farklı sular belirlenmeye çalışılmıştır. Bunun için tüm su örneklerine ait major iyon değerlendirmesi öncelikle tek bir diyagram üzerine konarak birbirine benzer eğriler gösteren sular aynı renkle işaretlenmiştir (Şekil 1). Benzer suların belirlenmesinin ardından benzer su tipi değerlendirmeleri farklı Schoeller diyagramları üzerinde açıklanmıştır.



Şekil 4. Tüm Örneklerle Ait Yarı Logaritmik Schoeller Diyagramı

Şekil 1'de kırmızı çizgilerle gösterilen T-1, T-3, T-4, T-5, T-7, T-9, T-10, T-11, T-12 ve TÇ-1 kodlu sular benzer sulardır. Bu sulardan tamamı merkez terme bölgesinde bulunan sulardır. Daha sıcak olan örneklerin derişim değerlerinin daha yüksek olduğu görülmektedir. Bununla birlikte T-5, T-7 sıcak su kuyuları ile TÇ-1 kodlu soğuk su kaynağının diğer çizgilerden ayrı ve daha düşük derişimlere sahip olduğu görülmektedir. Bunun nedeni ise T-5 ve T-7 kuyularının daha sıçradı ve düşük sıcaklıkta olmalarıdır. TÇ-1 soğuk su kaynağının termal kaynaklar ile benzer olması, Terme bölgesinde sıcak sulardan soğuk sular ile benzer olduğu, yani soğuyan sulardan nedeninin karışımından kaynakladığı ileri sürülebilir.

Kısmen Terme Bölgesi sularına benzeyen, HG-1 ve KC-1 kodlu kaynaklardan HG-1, Terme bölgesinde bulunan bir termal çıkıştır. KC-1 ise Karakurt Termal Bölgesi'ne ait soğuk su kaynağıdır. Sıcak ve soğuk su kaynaklarının birbirine benzer olması ve diğer kaynaklara göre daha düşük Cl^- (klorür) içermeleri sulardan karışması ile mümkündür. Cl^- , suyun hareketi sırasında hiçbir şekilde azalmayan bir iyondur. Suda Cl^- azalması, ancak daha az Cl^- içeren bir suyun ortama girmesiyle mümkün değildir. Bu durum aslında bölgede

bulunan termal suların, yeraltı suları ile karıştığını ve soğuk su girişimi arttıkça klorürün azaldığını göstermektedir.

K-1 ve ÇDC-1 kaynakları yine bir sıcak ve bir soğuk su kaynağından alınmış iki örnektir. Örneklerin benzerliği, suların karıştığını ve benzer kökenden geldiklerine işaret eder.

ÇM-1, ÇM-2, ÇB-1, A-1, SB-1 Schoeller Diyagramı üzerinde neredeyse birbirine paralel eğrilerle görülürler. En yüksek klorür derişimine sahip ÇB-1 kodlu Bulamaçlı Bölgesi'ne ait örnek aynı zamanda en yüksek EC değerine de sahiptir. Çalışma alanının kuzeydoğu sınırında bulunan bu kaynaktan güneye ve batıya gittikçe derişim düşmekte ve karışım oranı artmaktadır. A-1 örneğinin olduğu Akpınar ise bölgenin en sıcak ve mineralli sularıyla benzer özellikler göstermesine rağmen oldukça soğuk ve alanın batısında kalan bir noktadadır. Burada Na/K oranına bakıldığında, oran 15'in çok üzerinde olduğundan, karışım değil kondüktif soğuma olduğu söylenebilir. Diğer bir deyişle, örtü kayanın inceldiği ya da faydan uzaklaşılan bir bölgede A-1 kaynağı yüzeylenmiş olabilir.

3. KIRŞEHİR TERMAL ALANLARI JEOLOJİK VE JEOKİMYASAL ÖZELLİKLERİ

3.1 Terme Bölgesi

4.1.1 Bölgenin Jeolojisi

Terme bölgesi Kırşehir'in merkezinde bulunmaktadır. Bölgede çok sayıda kuyu işletilmektedir. Kuyuların bir kısmı balneolojik amaçlı otellerde kullanılırken, bir kısmı da şehir ısıtmasında değerlendirilmektedir. Terme bölgesinde 9 kuyu ve bir kaynak çıkış noktası (Hilla Gölü) olmak üzere 10 noktada örnekleme yapılmıştır. Termal saha işletmesinin en yoğun olduğu bölgedir.

Orta Anadolu kristalen kompleksi ya da Kırşehir kristalen masifi, Terme bölgesine ait en yaşlı birimleri barındırır. En alta Paleozoik metamorfik şistler ve birkaç on santimetre kuvarsit ara katkılı mermerler bulunur. Metamorfik şistlerin kalınlığı 1000 metreden fazladır. Şistler, Paleosen granitler tarafından kesilmişlerdir (Canik 1982,1991, Pasvanoğlu ve Gültekin 2011). Eosen konglomera ve kumtaşları da yaşlı birimleri uyumsuzluk yüzeyi oluşturarak örterler. Bölgenin kuzey ve batı bölgelerinde Eosen birimler, yatay tabaklı Pliyosen konglomera, kumtaşı, kil ve kireçtaşısı ile üzerlenir. En genç birimleri oluşturan Kuvaterner alüvyon ve travertenler de bölgede oldukça yaygındırlar (Pasvanoğlu ve Gültekin, 2011)

4.1.2 Bölgenin Hidrokimyasal Özellikleri

Merkez Terme Bölgesinde dokuz sıcak su kuyusu, bir termal çıkış noktası ve bir soğuk su kaynağı olmak üzere on bir noktadan örnekleme yapılmıştır. Örneklemelerin tamamı kuru, açık bir havada gerçekleştirilmiştir. Geçtiğimiz kışın kurak geçmesi sayesinde hiçbir su örneği yağıştan etkilenmemiştir.

Örneklemelere ısı merkezinden başlanmış aynı noktada bulunan üç kuyudan su örnekleri toplanmıştır (Şekil 5-6). Çalışmalar sırasında yerinde, multi-parametre ölçüm cihazı kullanılarak gerekli fiziksel ve kimyasal parametreler kaydedilmiştir.

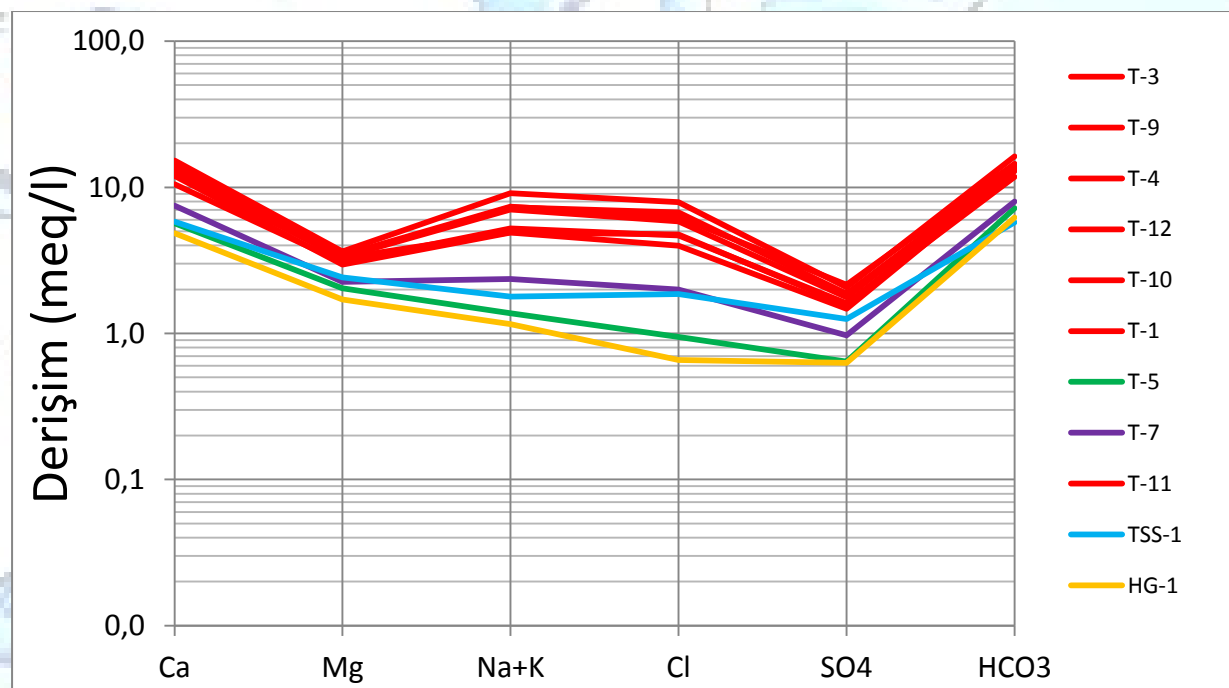


Şekil 5. Terme Bölgesi Örnekleme Çalışmaları

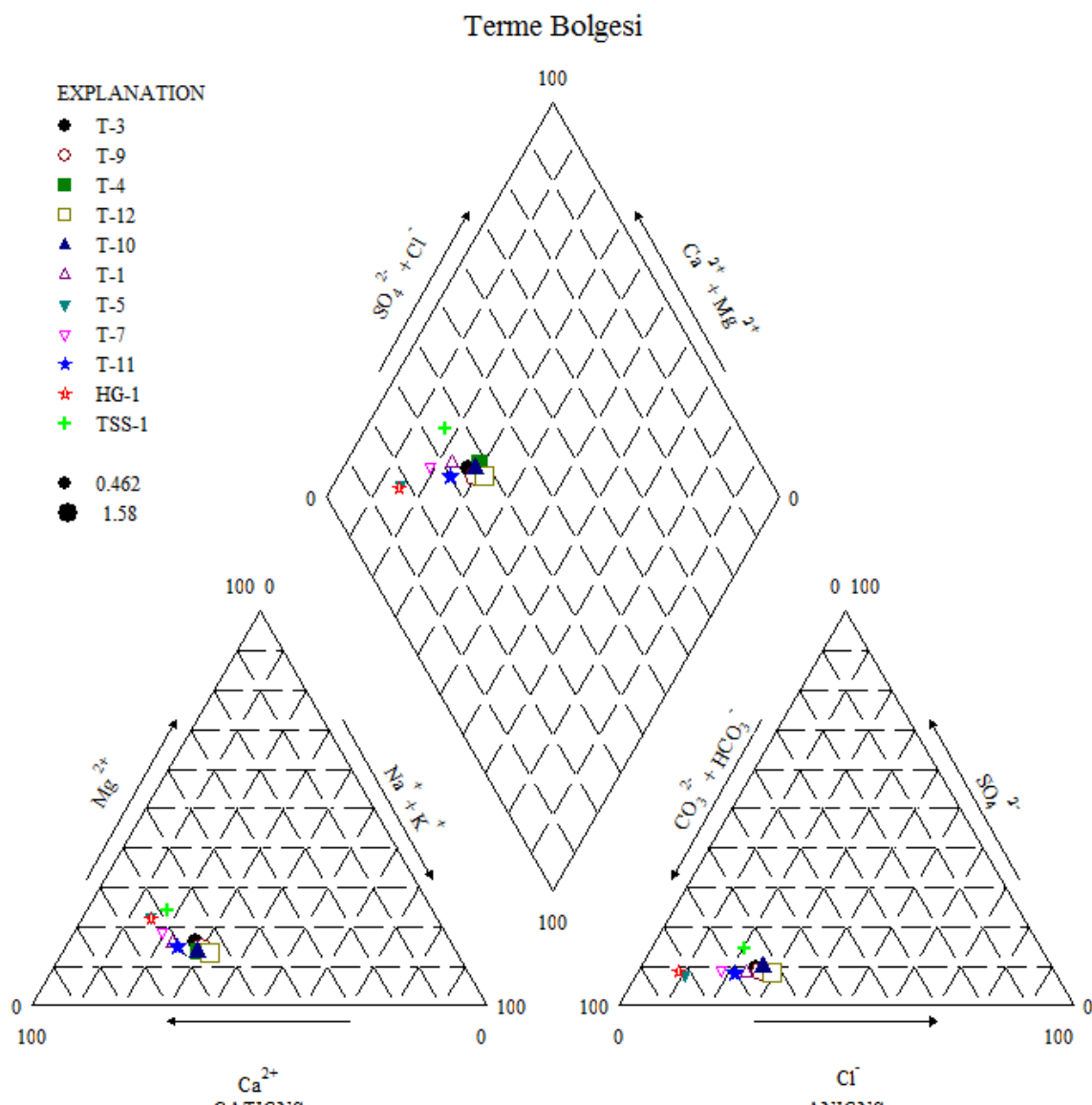


Şekil 6. Terme Bölgesi Örnekleme Çalışmaları

Terme bölgesi sıcak suları, soğuk sular ile benzer karakter gösterirken, soğuk su oranının artmasına bağlı olarak sıcaklık düşmesi ve klorür seyrelmesi görülmektedir. Schoeller Diyagramında bu durum net olarak görülmektedir. T-5 ve T-7 haricinde bulunan kuyu sıcaklıklarları ve EC değerleri daha yüksektir. Görece sıcak olan kuyular soğuk su etkileşiminden daha az etkilenmişlerdir (Şekil 7).



Şekil 7. Terme Bölgesine Ait Suların Schoeller Diyagramı

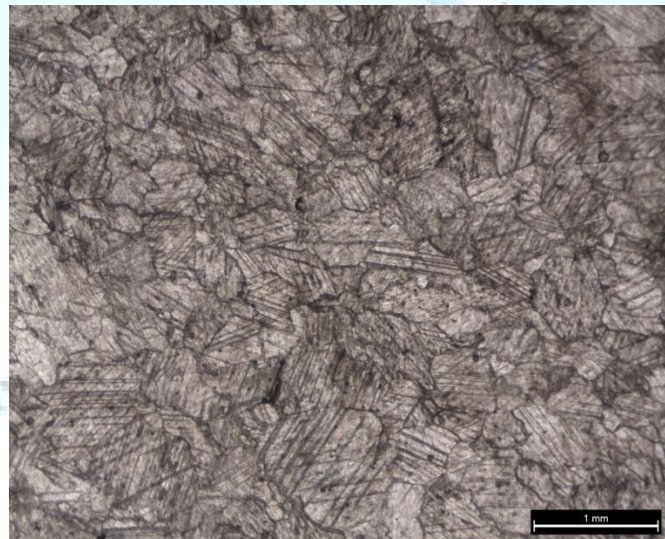


Şekil 8. Terme Bölgesine Ait Suların Piper Diyagramı

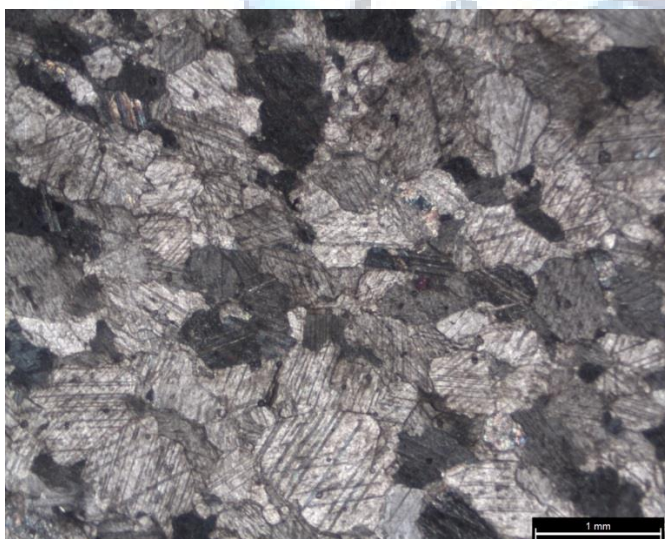
Terme Bölgesi'ne ait suların Piper Diyagramı'na bakıldığında, tüm suların $\text{Ca}-\text{HCO}_3$ tipi sular olduğu görülmektedir. Bu tür sular tipik sığ yeraltı suyu karakteri taşırlar. Sıcak ve soğuk sular aynı kökenden gelmektedirler. Bu kökenin de dolomitik bir kayaç olduğunu söylemek mümkündür. Diyagramdan derin ve debisi en yüksek kuyu T-12 kuyusudur. Yüzeylenen ve bir gölet oluşturan HG-1 kaynağı ise sığ yeraltı suyu karakterine en iyi uyan sudur. Rezervuardan doğrudan alınan sular derin yeraltı suyu ($\text{Na}-\text{Cl}$ tipi sular) tipine yaklaşırken, rezervuardan uzaklaştıkça klorürün seyrelmesi ve bikarbonatın artması, karışım oranının, sığ yeraltı suyu yönünde arttığını gösterir.

4.1.3 Terme Bölgesi Mineralojik ve Petrografik Çalışmalar

Bölgede ısı merkezi yanında görülen kayaç yüzleğinden örnekleme yapılmıştır. Bu örnektenden ince kesit hazırlanarak tek nikol ve çift nikol görüntüleri kaydedilmiştir (Şekil 9-10).



Şekil 9. Terme Bölgesi Kaya Örneği Tek Nikol Görüntüsü



Şekil 10. Terme Bölgesi Kaya Örneği Çift Nikol Görüntüsü

Örnek mozaik dokulu mermer olarak tanımlanmıştır. Bölgede bulunan suların bikarbonatlı olması rezervuar özellikteki kayacın mermer olduğunu ifade edebilir.

3.2 Karakurt Bölgesi

4.2.1 Bölgenin Jeolojisi

Karakurt bölgesinde belediye tarafından işletilmekte olan bir meyve kurutma tesisi bulunmaktadır. Bölge, Terme'nin yaklaşık 15 km. kadar batısındadır. Burada bir sıcak su kuyusu, bir de soğuk su çeşmesi olmak üzere iki noktadan örnekleme yapılmıştır. Bölgede bir de eski hamam bulunmaktadır. Hamam kullanılır durumda değildir. Yapılan çalışmalar sonucunda Karakurt bölgesinde işletme kapasitesinin artırılması amaçlanmaktadır.

Bölgelin tabanında Kırşehir Masifi'ne ait Paleozoik şist, kuvarsit ve mermerler bulunur. Masife ait olan bu metamorfikler, Üst Paleosen – Alt Eosen'e ait kırmızı renkli konglomera, kumtaşı ve çamurtaşını uyumsuzlukla örterler. Bu birimin de üzerinde yaklaşık 30 m. kalınlığında Lütesiyen yaşı gri renkli, fosilli kumtaşı, silttaşısı ve çamurtaşısı bulunmaktadır. En üstte ise Üst Miyosen – Pliyosen yaşı kırmızımsı-pembe renkli, kahverengi konglomera, kumtaşı, kumlu kil ve çamurtaşısı ile sarımsı-beyaz renkli gölsel kireçtaşısı bulunmaktadır. Bölgede görülen en önemli tektonik unsur Çiban Tepesi'ni kesen ters faydır.

4.2.2 Bölgenin Hidrokimyasal Özellikleri

Karakurt Bölgesi'nde bir sıcak bir de soğuk su kaynağından örnekleme yapılmıştır. Sıcak su örneği bölgede Kırşehir Belediye'sine bağlı çalışan kurutma tesisinin kuyusundan alınmıştır (Şekil 11). Soğuk su ise kuyunun sadece bir kaç on metre güneybatısında, Kırşehir'i Karakurt'a bağlayan anayolu kenarında bulunan bir çeşmeden alınmıştır (Şekil 12).

Bölgeden alınan iki örneğe ait majör iyon analiz sonuçları, ortak birer Schoeller ve Piper diyagramlarında incelenmiştir (Şekil 13 - 14).

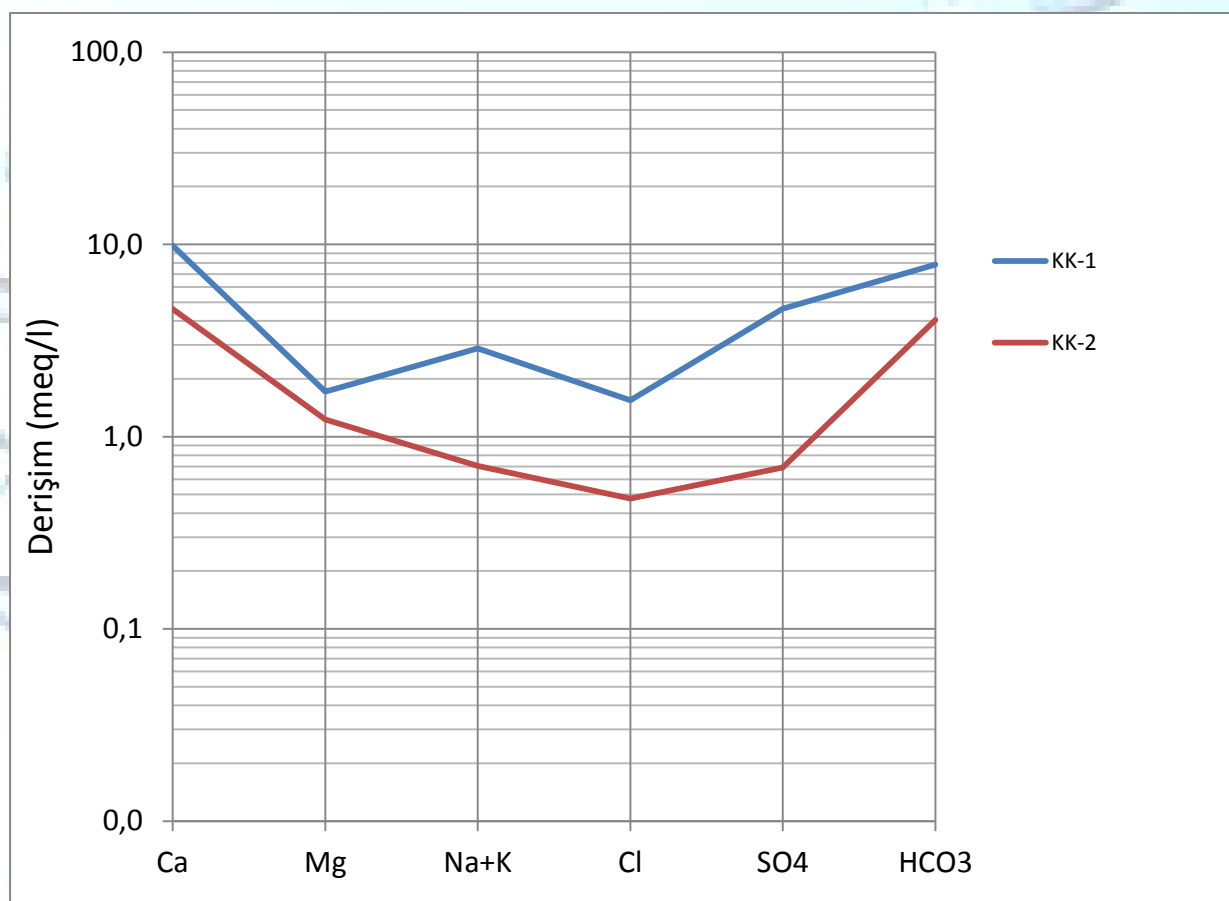


Şekil 11. Karakurt Bölgesi Kurutma Tesisinde Sicak Su Kuyusu Örnekleme Çalışmaları

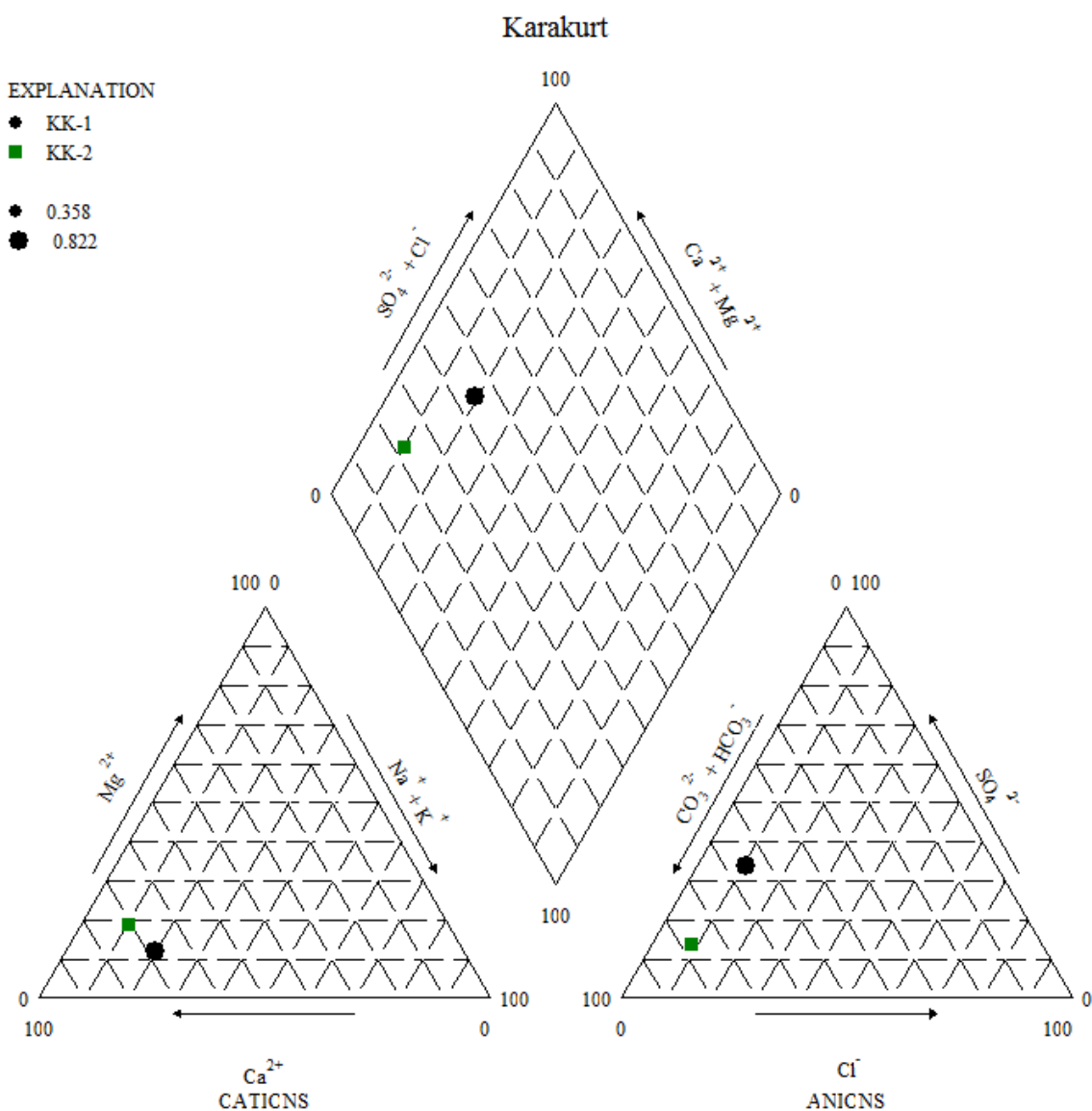


Şekil 12. Karakurt Bölgesi Soğuk Su Örnekleme Çalışmaları

Karakurt Bölgesi'nden örneklenen soğuk ve sıcak sular benzer sulardır. Her iki su da sıg yeraltı suyu karakteristiğine sahip Ca-HCO₃ tipi su özelliği gösterir. Terme Bölgesi'ne yakın olmasına rağmen bu bölgede klorür belirgin derecede azalırken sülfat oranı artmıştır. Bunun nedeni de bölgenin güneyinde, Aksaray yönünde bulunan evaporitik kayaçlar olabilir. Bununla birlikte rezervuarın yine dolomitik olduğunu söylemek mümkündür.



Şekil 13. Karakurt Bölgesine Ait Suların Schoeller Diyagramı



Sekil 14. Karakurt Bölgesine Ait Suların Piper Diyagramı

Piper diyagramında görüldüğü üzere sıcak su kaynağı K-1 derin yeraltı suyu karakterine yakın görünse de, Ca-HCO₃ tipi sular sınıfında kalmaktadır. Karışım miktarının bölgenin güneybatısına gittikçe arttığı görülmektedir.

3.3 Mahmutlu Bölgesi

4.3.1 Bölgenin Jeolojisi

Bölgede Yiğit Seracılık adlı firma iki kuyu işletmektedir. Kuyuların sıcaklıklarları ve EC'leri Kırşehir'de Bulamaçlı'dan sonra en yüksek değerlere sahiptirler. Serada işletilen iki kuyudan ve yakınlarda bulunan bir soğuk su kaynağından örnekleme yapılmıştır.

Bölgelen tabanında Senozoyik'e ait üç formasyon bulunur. Bu formasyonların da üzerini Kuvaterner birimler örterler. Senozoyik formasyonları Çevirme, Deliceirmak ve Kızılırmak adları ile anılırlar.

Çevirme formasyonu, kilitası ve killi kireçtaşından (nummulitli) oluşur. Deliceirmak, evaporitli, kırmızı kahve-gri renkli karasal çakıltaşı, kumtaşısı ve çamurtaşından oluşmaktadır. Kızılırmak ise, kırmızı-kahve renkli, gevşek çakıllı, kumlu, yer yer tuf, kireçtaşı, kumtaşısı mercekleri içeren, çamurtaşlarından oluşmaktadır. Bu üç formasyonu örten Kuvaterner ise alüvyon ve travertenlerden oluşmaktadır.

4.3.2 Bölgenin Hidrokimyasal Özellikleri

Bölgede seracılık faaliyetlerinde kullanılan iki sıcak su kuyusundan da örnekleme yapılmıştır (Şekil 15 - 16). Bununla birlikte sıcak su kuyularının bir kaç km. kuzeýinde bulunan Doğankaş Köyü Çeşmesi'nden de soğuk su örneği alınmıştır (Şekil 17).

Bölgelen doğu sınırında bulunan bu örnekler, en sıcak ve yüksek mineralli sulara aittir. Yapılan analiz sonuçlarına göre Terme ve Karakurt Bölgelerinde olduğu gibi soğuk su girişiminin bu bölgende daha az olduğu, sıcak suların, sıçrı yeraltı suyu karakteristiğinden uzaklaşlığı, ilgili diyagramlarda görülmüştür (Şekil 18 - 19).



Şekil 15. ÇM-2 Kuyusu Örnekleme Çalışmaları

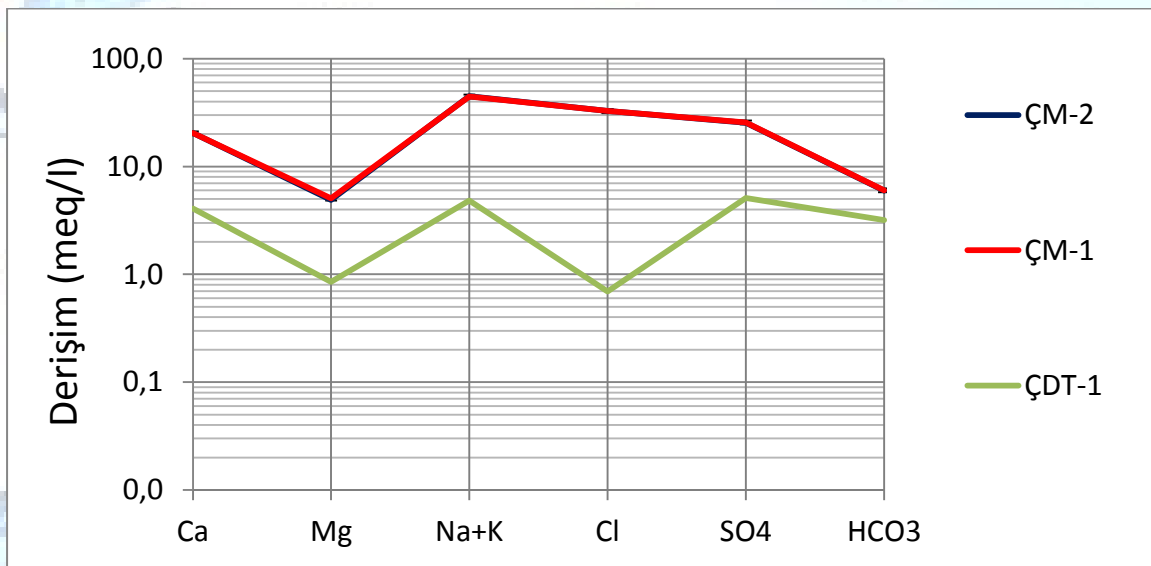


Şekil 16. ÇM-1 Kuyusu Örnekleme Çalışmaları

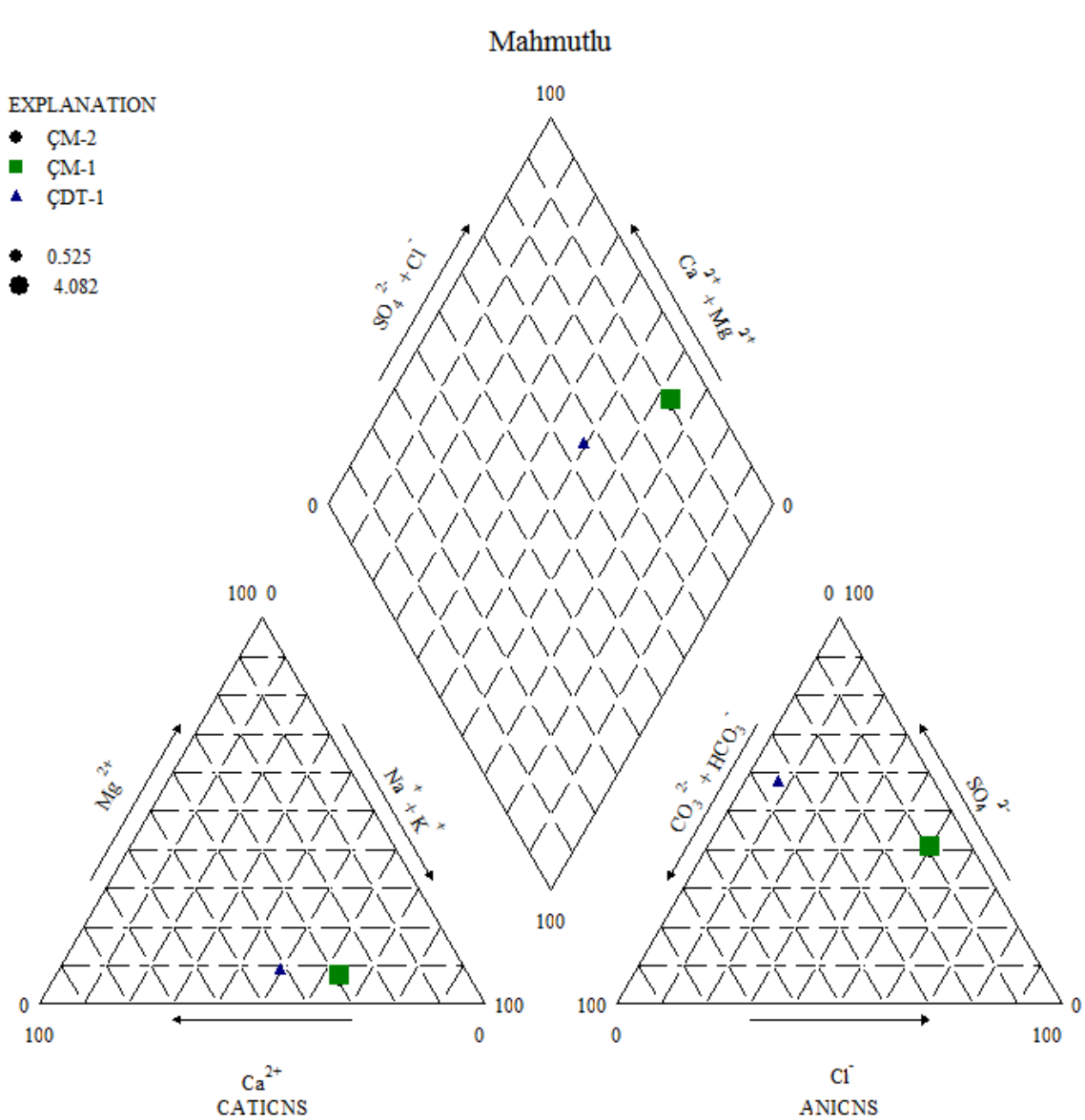


Şekil 17. Doğankış Köyü Çeşmesi Örnekleme Çalışmaları

ÇM-1 ve ÇM-2 kodlu sıcak su kuyuları yan yana, aynı rezervuara sahip sulardır. Schoeller diyagramına göre gösterdikleri eğriler çakışktır (Şekil 18).



Şekil 18. Mahmutlu Bölgesine Ait Suların Schoeller Diyagramı



Şekil 19. Mahmuthu Bölgesine Ait Suların Piper Diyagramı

Bölgeye ait Piper Diyagramına göre sular Na-Cl tipi, derin yeraltı suyu özelliği göstermektedirler. Soğuk su kaynağı bikarbonatlı su sınıfına yakın olabilir. Yüzey suları ile ilişki bu bölgede çok daha azdır. Bölgede rezervuardan alınan karışım etkisinden en az etkilenmiş suların olduğu söylenebilir. Rezervuar özelliği gösteren kayacın da sedimenter – evaporitik olma ihtimali vardır.

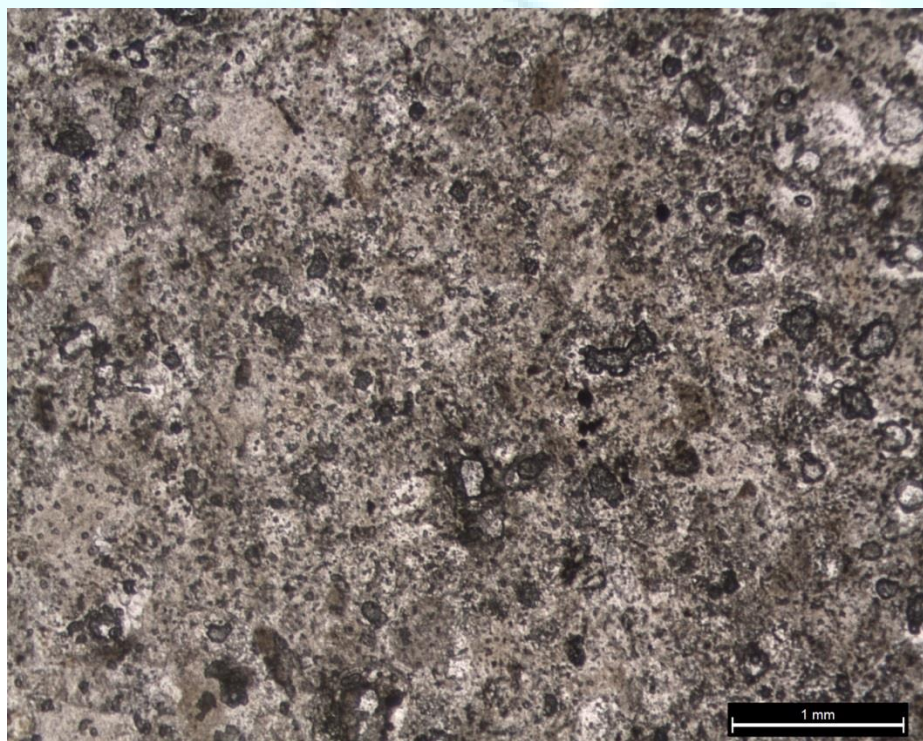
4.3.3 Mahmudlu Bölgesi Mineralojik ve Petrografik Çalışmalar

Bölgede örnekleme yapılan kuyuların yakınında varlığı bilinen bir kaynak çıkış noktasından kayaç örneklemesi yapılmıştır. Örnekleme noktasında bulunan kaynağı, zaman içerisinde kuyulardan yapılan çekim nedeniyle kuruduğu tahmin edilmektedir.

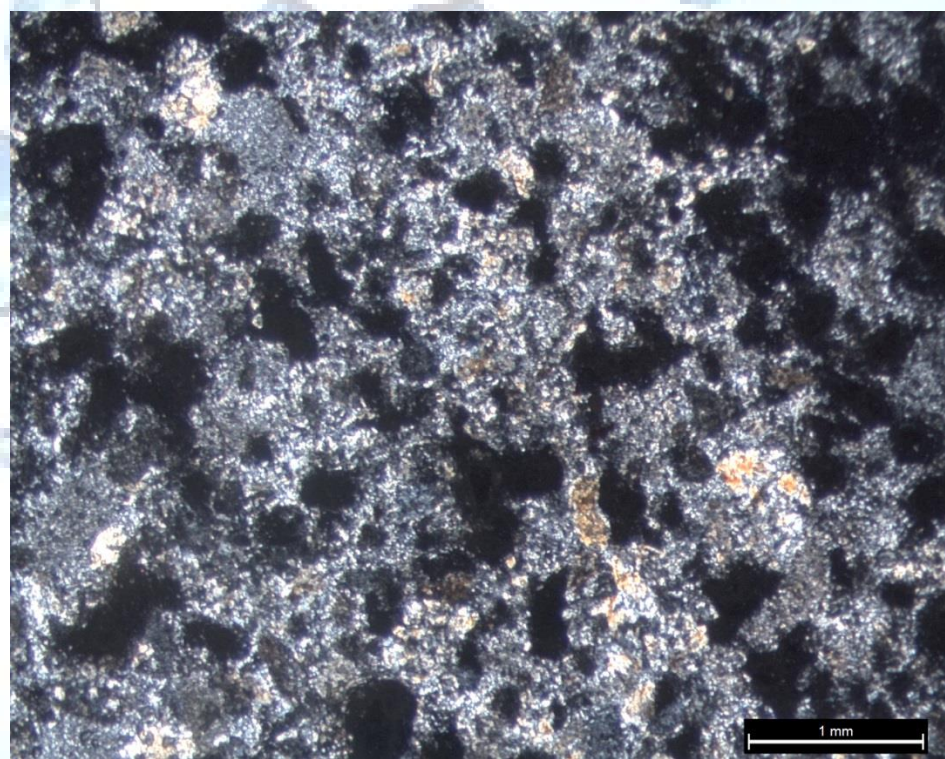
Alınan örneğin sedimanter kökenli, hidrotermal alterasyon izleri taşıyan bir kayaç olduğu öngörülmüştür ve örnektен ince kesitler hazırlanarak tek ve çift nikol görüntüleri incelenmiştir (Şekil 20-21-22).



Şekil 20. Mahmudlu Bölgesinde Bulunan Kaynak Çıkış Noktasına Ait Kaya Yüzlekleri



Şekil 21. Mahmudlu Bölgesi Kaya Örneği İnce Kesit Tek Nikol Görüntüsü



Şekil 22. Mahmudlu Bölgesi Kaya Örneği İnce Kesit Çift Nikol Görüntüsü

Şekil 21 ve 22'de verilen görüntülerden yararlanılarak örnek, kilitası olarak tanımlanmıştır. İkinci nikolde görülen siyah bölgeler örneğin boşluklu olduğunu

göstermektedir. Yine ikinci nikolde görülen renkli yapılar ikincil bozunma ürünlerini olarak tanımlanmıştır. İkinci bozunmanın da kaynağı, sıcak suyun zaman içerisinde kayacı alterasyona uğratmasıdır.

3.4 Bulamaçlı Bölgesi

4.4.1 Bölgenin Jeolojisi

Temelde Üst Kretase-Paleosen granitoyidler yer alır. Granitoyidlerin üzerinde, Paleosen riyolit-andezit-trakit-dasit volkanikleri yer alır. Bu birimlerin üzerine yine volkanik kökenli olmuş, kötü boylanmalı, akarsu ortamında çökelmiş çakıltaşlarından oluşan Baraklı Formasyonu gelir. Bu formasyonu kireçtaşları üzerler ve ardından da Kuvaterner traverten ve alüvyon bölgenin en genç birimlerini oluşturur.

4.4.2 Bölgenin Hidrokimyasal Özellikleri

Bulamaçlı bölgesinde bulunan kaplıcaya ait kuyudan ve Akpınar yolu üzerinde bir soğuk su kaynağının örneklemesi yapılmıştır. Bu bölgede bulunan suların, bölgenin batısında bulunan Akpınar ile benzer özellikler taşıdığından birlikte değerlendirme yapılmıştır.

Bulamaçlı kaplıcası, ÇB-1, soğuk su kaynağı, ÇAÇ-1, Akpinar kaynağı ise A-1 kodları ile belirlenerek örneklemeye yapılmıştır (Şekil 23-24-25).



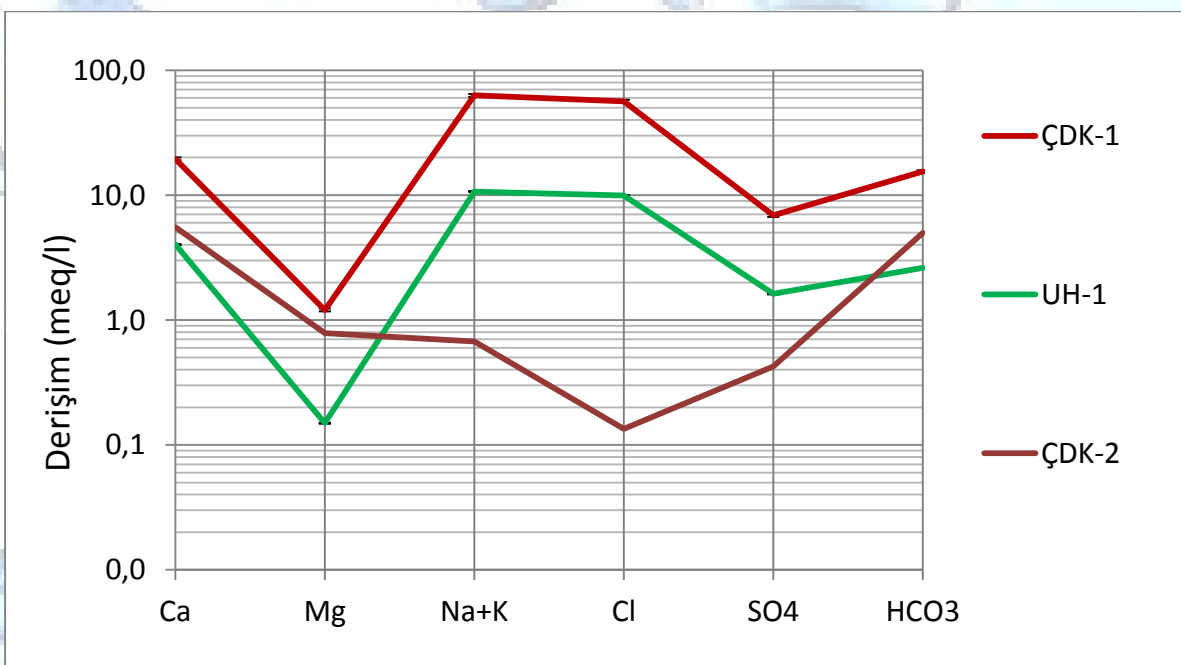
Şekil 23. Bulamaçlı Sahası Örnekleme Çalışmaları



Şekil 24. Akpinar Yolu Üzeri Soğuk Su Örnekleme Çalışmaları

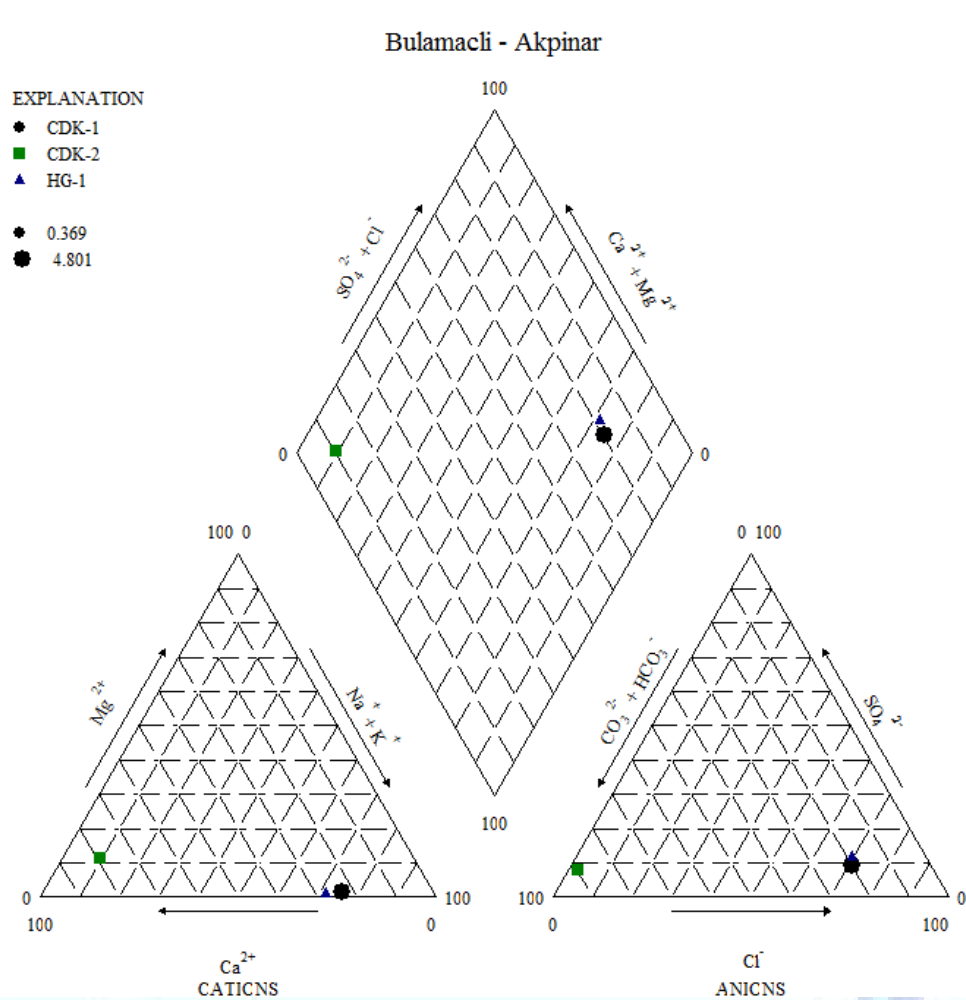


Şekil 25. Akpinar Uyuz Hamamı Örnekleme Çalışmaları



Şekil 26. Bulamaçlı ve Akpinar Bölgelerine Ait Suların Schoeller Diyagramı

ÇB-1 ve A-1 kodlu örnekler birbirinden farklı tanımlanan alanlarda olmalarına rağmen benzer sulardır. Aralarında yüksek sıcaklık ve EC farkı bulunmaktadır (Tablo 1). Schoeller diyagramında oluşturdukları eğrilerin de birbirlerine tamamen paralel olduğunu söylemek yanlış olmaz. Bu durum iki çıkışın da ortak bir rezervuardan geldiğini gösterse de enerji kaybının A-1 kaynağında çok fazla olduğu görülmektedir. Bunun nedeni soğuk su karışımı değildir. Klorür miktarında bir seyrelme söz konusu olmamıştır. Bu gibi durumlarda Na/K oranı 15'ten büyük ise kondüktif soğuma olduğu ileri sürülebilir. A-1 kaynağı için bu oran 36 civarındadır. ÇB-1 kaynağında ise bu değerin 12 civarında olduğu görülmektedir. Bu durum da kondüktif soğuma öngörüsünü destekler niteliktedir. Aynı zamanda litolojik değişime bağlı olarak örtü kayanın incelmesi ya da faylarla ötelenmesi de bu soğumanın kaynağı olabilir.



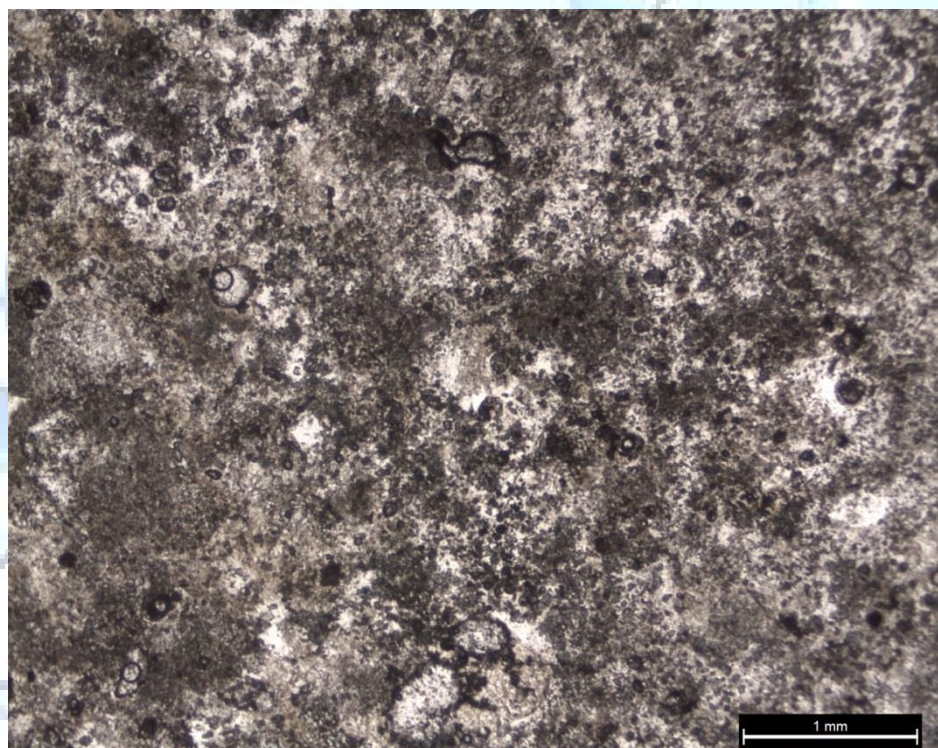
Şekil 27. Bulamaçlı ve Akpinar Bölgelerine Ait Su Örneklerinin Piper Diyagramı

Piper diyagramına göre bölgelerdeki sıcak suların Na-Cl tipi, soğuk suların ise Ca-HCO₃ tipi olduğu görülmektedir. Bir diğer deyişle, soğuk su kaynağı, sıç yeraltı suyu özelliği gösterirken, sıcak sular, derin dolaşımı eski su özelliğindedirler. Suların farklı bölgelerden beslendiği ve farklı rezervuarlara ait olduğu da söylenebilir.

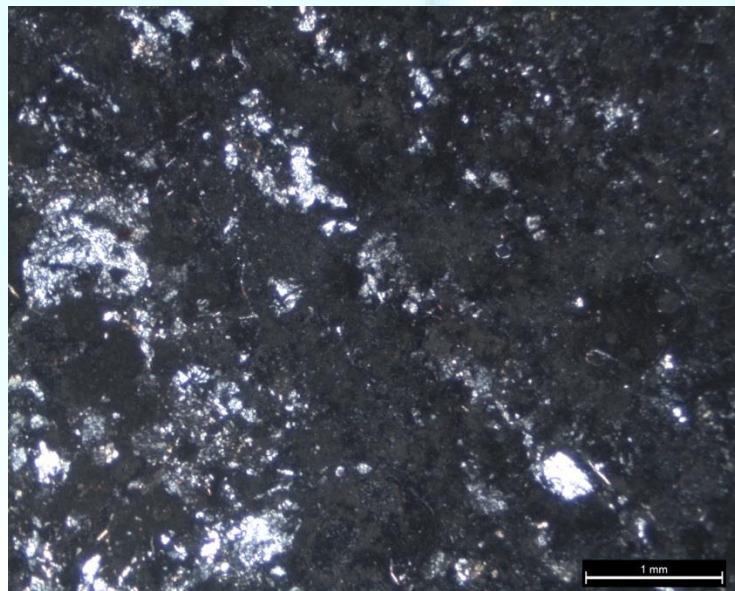
4.4.3 Bulamaçlı ve Akpınar Bölgeleri Mineralojik ve Petrografik Çalışmalar

Bulamaçlı ve Akpınar bölgelerinden toplamda üç noktada kayaç örneklemesi yapılmıştır. Örnekleme konumları jeoloji haritasında işaretlenmiştir (EK-1).

İlk örnek A-1 örneklemeye noktasına yakın bir kumtaşıdır (Şekil 28-29). Örnekte görülen kayaç parçası içeriği fazla plajiyoklaz ve diğer alkali feldspatlarca zengin bir örnektir.

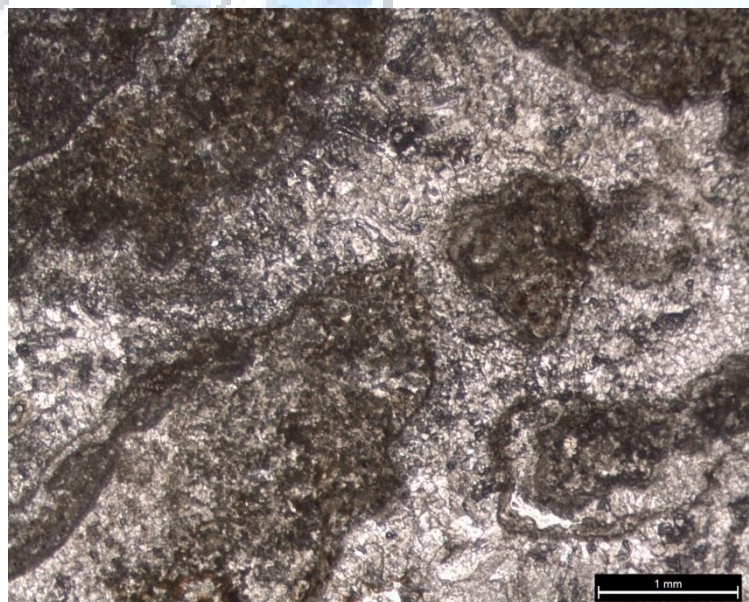


Şekil 28. A-1 Civarından Alınan Kumtaşı Örneğinin Tek Nikol Görüntüsü

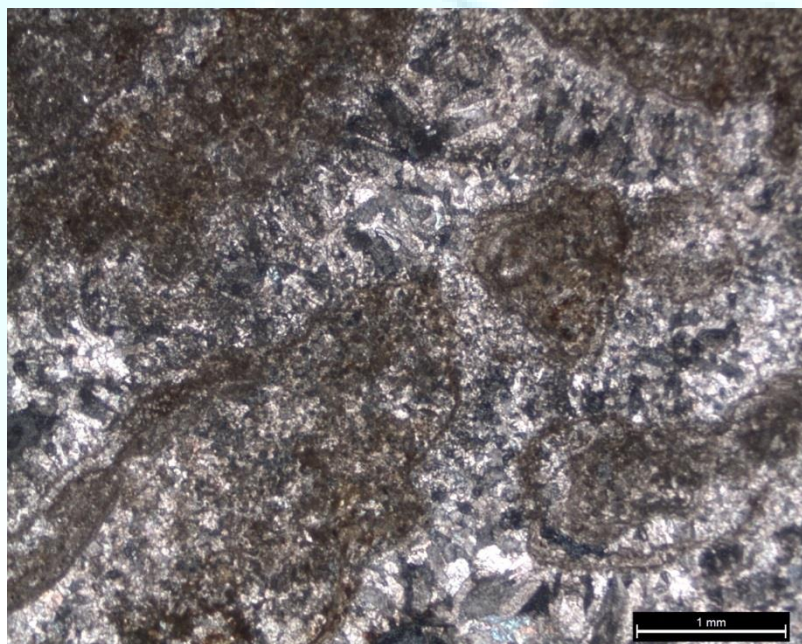


Şekil 29. A-1 Civarından Alınan Kumtaşı Örneğinin Tek Nikol Görüntüsü

Diğer bir örnek Bulamaçlı kaplıçası civarından alınmıştır. Bu örneğin rekristalize kireçtaşısı olduğu anlaşılmıştır. Alınan kesitlerde örneğin tamamen karbonattan oluştuğu ve farklı minerallerin kesitte bulunmadığı belirlenmiştir (Şekil 30 - 31).

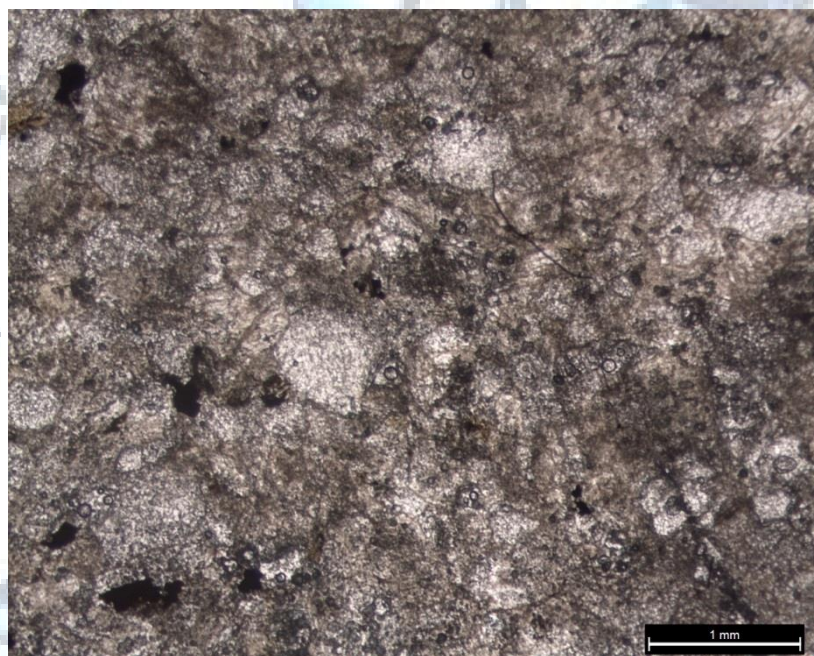


Şekil 30. Bulamaçlı Civarından Alınan Rekristalize Kireçtaşısı Örneği Tek Nikol Görüntüsü

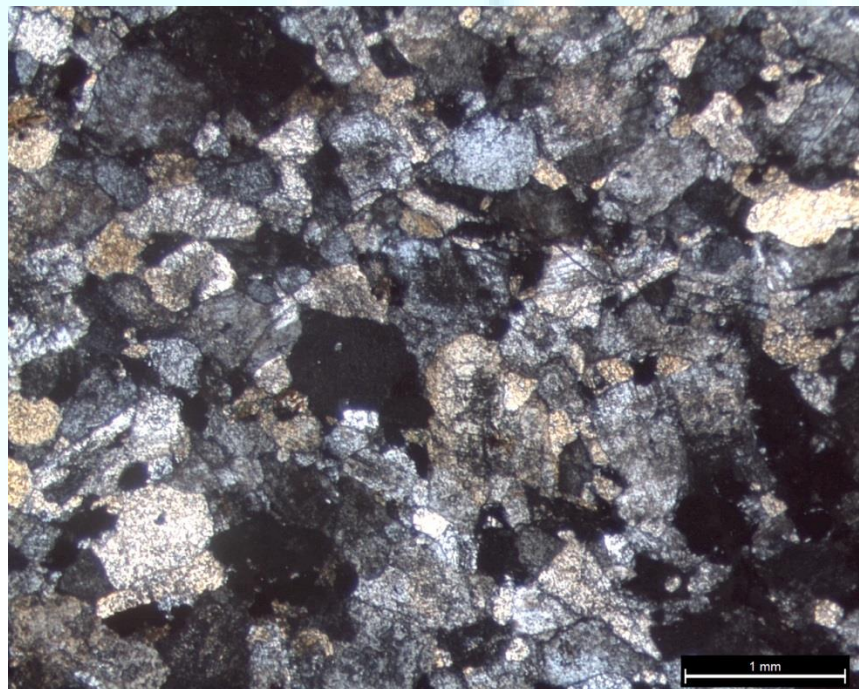


Şekil 31. Bulamaçlı Civarından Alınan Rekrystalize Kireçtaşları Örneği Çift Nikol Görüntüsü

Bölgeden üçüncü ve son örnek ise yine uyuz hamamı civarından alınmıştır. Örnek, ortoklaz, kuvars ve feldspatça oldukça zengin bir derinlik kayacıdır. Nihai yorumda örnek granit kayacı olarak belirlenmiştir (Şekil 32-33).



Şekil 32. A-1 Cvari Granit Örneği Tek Nikol Görüntüsü



Şekil 33. A-1 Civarı Granit Örneği Çift Nikol Görüntüsü

3.5 Savcılı Bölgesi

4.5.1 Bölgenin Jeolojisi

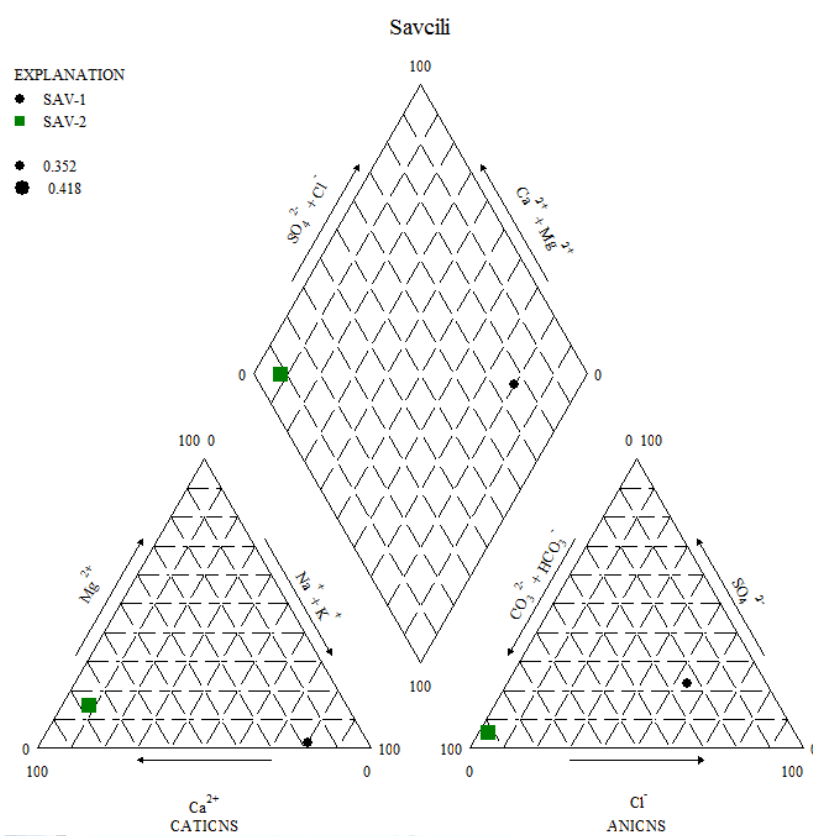
Temel kaya Mesozoyik'e ait kristalize kireçtaşları ve mermerlerdir. Üstte, taban konglomerası ile başlayıp, kumtaşı, çamurtaşı ve kireçtaşları ile devam eden Lütesiyen birimler bulunur. Mesozoyik monzonitli granit ve granitler magmatizma ile gelişmiştir.

4.5.2 Bölgenin Hidrokimyasal Özellikleri

Bölgede bir soğuk bir sıcak olmak üzere iki noktadan örnekleme yapılmıştır. Soğuk su karakteristiği yine diğer bölgelerle benzer olup karbonatlıdır. Sıcak su kaynağının ise Bulamaçlı Bölgesi ile benzer olduğu görülmektedir. Ancak bölgede bulunan sıcak ve soğuk su arasında ciddi bir benzerlik yoktur. Suların farklı rezervuarlarından geldiği ve kökenlerinin farklı olduğu söylenebilir (Şekil 34).



Şekil 34. Savcılı Bölgesine Ait Schoeller Diyagramı



Şekil 35. Savcılı Bölgesine Ait Piper Diyagramı

Savcılı bölgесine ait sıcak ve soğuk suların farklı karakterde olduğu Piper Diyagramı'nda da görülmektedir. Buna göre sıcak su kaynağı, soğuk su karışımından uzak, derin dolaşımı Na-Cl tipindedir. Bu su Akpinar, Bulamaçlı ve Mahmutlu ile benzer özelliktedir ve aynı rezervuar kayaya ait olabilir. Soğuk su ise yine bölgenin tamamında Ca-HCO₃ tipindedir. Tipik sığ yeraltı suyu özelliği gösterir.

4. JEOFİZİK ÇALIŞMALARI

4.1 Sismik Yansıma Çalışmaları

Çalışmalar kapsamında Akpinar Bölgesi'nde iki noktada sismik yansıtma çalışması gerçekleştirilmiştir. Çalışmanın amacı, henüz işletmeye açılmamış olan Akpinar termal alanında, termal suların yüzeye çıkışlarını sağlayan fayların geometrisini araştırmaktır. Kesitlerin detaylı halleri rapor sonunda ayrıca ek olarak sunulmuştur.

Sismik veri toplama işleminde kullanılan sistem ve kaynak özellikleri ile veri kayıt parametreleri aşağıdaki gibidir:

Sismik Ekipman: 5 Geode'li (120 kanal) Geometrics Sistem. 14 Hz Düşey Jeofonlar

Sismik Kaynak: 36 Fişekli P-Gun ve 32 Fişekli Elektrik-Ateşlemeli PS-Gun

Atış-Alıcı Düzeni: Kablo-Boyunca-Yürüme (Walk-Away) Tekniği

Atış Sayısı: Akpinar-1 Hattı: 17 Atış, Akpinar-2 Hattı: 24 Atış

Alıcı Sayısı: 120 Jeofon

Atış Aralığı: 10 m

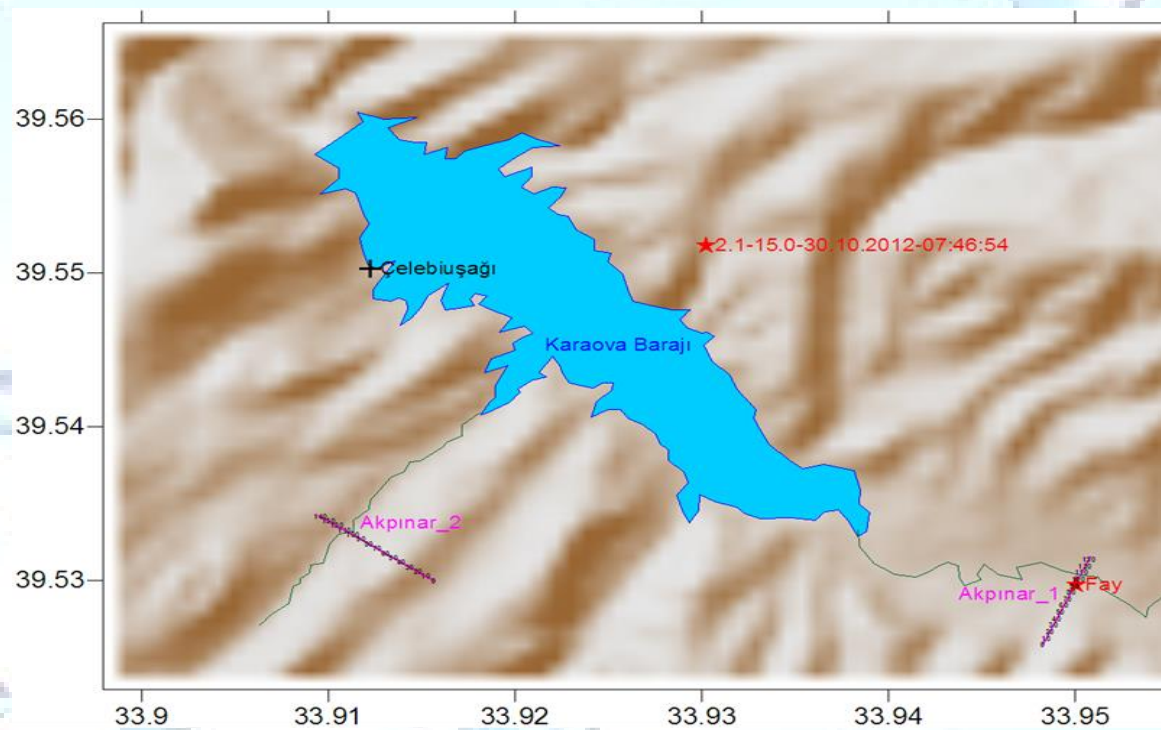
Alıcı Aralığı: 10 m

İlk Atışın Hat Başına Uzaklığı: 475 m

Örnekleme Aralığı: 0.5 ms

Kayıt Süresi: 3 s

İki farklı alanda uygulanan sismik hatlardan ilki A-1 kodlu örneğin olduğu uyuz hamamının hemen doğusunda, akarsuya dik, KD-GB doğrultulu olarak çalışılmıştır. İkinci hat ise alanın güneybatısında, KB-GD doğrultulu çalışılmıştır (Şekil 36).

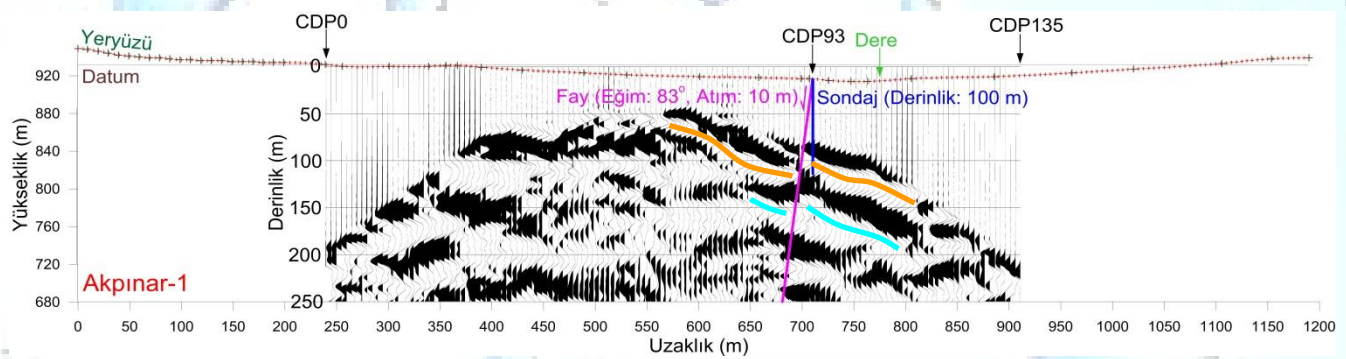


Şekil 36. Akpinar Bölgesinde Uygulanan Sismik Hat Konumları

Akpınar-1 Sismik Yansıma Kesitinde, CDP93 istasyonunda, GB'ya 83° eğimli, 10 m atımlı bir normal fay görülmektedir (Şekil 37). CDP93 istasyonunda, sondajla 100 m delindiğinde, soldan fayla sınırlanmış (fay tipi kapan) küçük boyutlu bir antiklinale girilmektedir (Şekil 38 - 39). Bu durum, sıcak suyu barındıracak bir jeolojik yapının var olabileceği anlamına gelmektedir. Sıcak suyun varlığını ispat etmenin yolu, bir deneme sondajı açmaktadır.



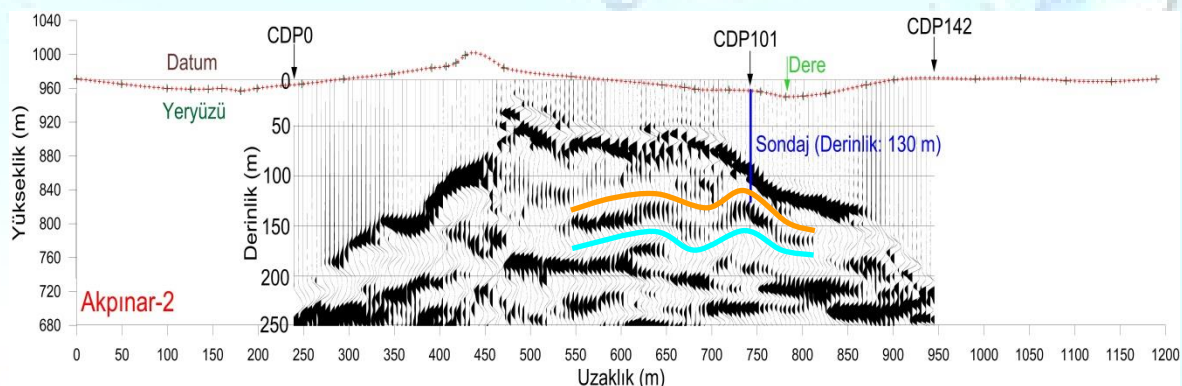
Şekil 37. Akpinar – 1 Hattında Görülen Fay Konumu



Şekil 38. Akpinar – 1 Sismik Kesit Yorumu

Akpınar-2 Sismik Yansıma Kesitinde herhangi bir fay görülmemektedir (Şekil 39). CDP101 istasyonunda, sondajla 130 m delindiğinde, küçük boyutlu bir antiklinale girilmektedir (Şekil

39 - 40). Bu durum, sıcak suyu barındıracak bir jeolojik yapının var olabileceği anlamına gelmektedir. Sıcak suyun varlığını ispat etmenin yolu, bir deneme sondajı açmaktadır.



Şekil 39. Akpinar - 2 Sismik Yansıma Kesiti Yorumu



Şekil 40. Akpinar - 2 Hattı Antiklinal Kırırm Eksenini Konumu

6. TARTIŞMA VE SONUÇLAR

Kırşehir ili ve çevresinde yapılan jeolojik, jeokimyasal ve jeofizik çalışmalar sonucunda bölgede bulunan jeotermal sistemlerin ortak bir rezervuara sahip oldukları kanısına varılabilir. Bölgedeki sular kuzeyden güneye ve batıya gittikçe soğuk su girişimlerinden ve kondüktif soğumadan etkilenerken kimyasal değişime uğramaktadırlar. Bu durum, sistemlerin barındırdığı örtü kaya kalınlığı değişimi üzerine bir çalışma yapılmasını gerektirebilir. Bununla birlikte suların karışım sürecine ugrasalar da, yüksek çözünlük madde içerdiklerinden sulama ve içme suyu olarak kullanılması istenmeyen sonuçlar meydana getirebilir. Bulamaçlı, Mahmutlu gibi 6000 – 7000 EC ve üzeri değere sahip sularla yapılacak sulamalar toprak veriminin düşmesine neden olabilir.

Sismik yansımı uygulamaları yapılan Akpınar'da bulunan termal çıkışa (A-1) ait fay geometrisi belirlenmiştir. Bu fay üzerinde yapılacak sondaj çalışmaları ile debi ve sıcaklığın arttırılması mümkün olabilir. Kondüktif soğuma etkisinin azaltılabilmesi için örtü kaya kalınlığının belirlenerek bu seviyenin altına inen kuyuların açılabilmesi için gravite etüdü yapılabilir.

Çalışmaların sonucunda bir dizi jeolojik, jeokimya, jeofizik bilgisi elde edilmiştir. Bu bilgiler coğrafi bilgi sistemleri aracı kullanılarak ortak bir konumsal veri tabanına aktarılmış ve haritalanmıştır. Haritalar rapor sonunda ek olarak sunulmuştur. Bu sayede oluşturulan veri tabanı ileride yapılacak çalışmaların ardından da güncellenebilir. Yeni bir jeofizik etüt yapıldığında ya da kuyu açıldığında yapılan iş veri tabanına eklenerek gerekli ilişkilerin kurulması, sistemlere ait modelleme çalışmalarının yapılması kolaylaşabilir.

KAYNAKÇA

- Karakuş, U., Çetin, T. "Jeotermal Kullanım Alanları ve Kırşehir Örneği" TSA, Cilt 7. Ağustos, 2003
- Temiz, U., "Kırşehir Dolayının Neotektoniği ve Depremselligi" Ankara Üni. Fen Bil. Ens. Jeo. Müh. ABD. 2004, doktora tezi.
- Çağlayan, A., 2010, Savcılı Fay Zonunun Yapısal Analizi, Ankara Üni. Fen Bil. Ens. Jeo. Müh. ABD.
- Akgün, F., Akay., E. and Erdoğan, B. 2002. Tertiary Terrestrial to Shallow Marine Deposition in Central Anatolia: A Palynological Approach. Turkish J. Earth Sci., Vol. 11, 2002, pp. 127-160.
- Bailey, E. B. and McCallien, W. J. 1950. Ankara Melanjı ve Anadolu Şariajı. MTA Enst. Mec., 40, 12-22.
- Birgili, Ş., Yoldaş, R. ve Ünalan, G. 1975. Çankırı-Çorum havzasının jeolojisi ve petrol olanakları. MTA Rap. No: 5621 (yayınlanmamış), Ankara.
- Çağlayan, A, 2010. Savcılı Fay Zonunun (Kırşehir) Yapısal Analizi, Yüksek Lisans Tezi, Fen Bilimleri Enstitüsü, Jeoloji Mühendisliği Anabilim Dalı, Ankara Üniversitesi Ankara.
- Egeran, E. N. ve Lahn, E. 1951. Kuzey ve Orta Anadolu'nun tektonik durumu hakkında not. MTA Enst. Mec., 41, 23-34.
- Erkan, Y., ve Ataman, G. 1981. Orta Anadolu masifi (Kırşehir yoresi) metamorfizma yaşı üzerine K-Ar yöntemi ile bir inceleme. Yerbilimleri, 8, 27-30.
- Erler, A., Akıman, O., Unan, C., Dalkılıç, F., Dalkılıç, B., Geven, A. ve Önen, P. 1991. Kaman (Kırşehir) ve Yozgat yörelerinde Kırşehir Masifi magmatik kayaçlarının petrolojisi ve jeokimyası. Doğa-Tr. J. of Engineering and Environmental Sciences, 15, 76-100.
- Göncüoğlu, M. C. 1977. Geologie des westlichen Niğde Massivs. Ph. D. Thesis, Bonn University, 167 s.
- Göncüoğlu, M. C., Toprak, V., Kuşçu, I., Erler, A. ve Olgun, E. 1991. Orta Anadolu Masifi'nin batı bölümünün jeolojisi, Bölüm 1: Güney Kesim. TPAO Rap. No. 2909, 140 s.
- Göncüoğlu, M. C., Erler, A., Toprak, V., Yalınız, K., Olgun, E. ve Rojay, B. 1992. Orta Anadolu Masifi'nin batı bölümünün jeolojisi, Bölüm 2: Orta Kesim. TPAO Rap. No. 3155, 76 s.

- Görür, N. 1981. Tuz Gölü-Haymana havzasının stratigrafik analizi. Türkiye Jeol. Kur. 35. Bilimsel ve Teknik Kurultayı, İç Anadolu'nun Jeolojisi Sempozyumu.
- Kara, H. ve Dönmez, M. 1990. 1:100.000 ölçekli açınsama nitelikli Türkiye jeoloji Haritaları serisi, Kırşehir-G 17 paftası. MTA yayınları.
- Ketin, İ. 1955. Yozgat bölgesinin jeolojisi ve Orta Anadolu Masifinin tektonik konumu. Türk. Jeol. Kur. Bull., S.6, 1-40.
- Ketin, İ. 1963. 1/500000 ölçekli Türkiye jeoloji haritası “Kayseri” paftası. MTA Enst. Yay., Ankara, 83 s.
- Koçyiğit, A. 2003. Orta Anadolu'nun genel Neotektonik Özellikleri ve Depremselliği. Haymana-Tuzgöl-Ulukışla Basenleri Uygulamalı Çalışma, TPJD, Özel sayı:5, s.1-26.
- Koçyiğit, A. and Özcar, A. (2003). Extensional Neotectonic Regime through the NE Edge of the Outer Isparta Angle, SW Turkey: New Field and Seismic Data. Turkish J. Earth Sci., Vol. 12, 2003, pp. 67-90.
- Kuşcu, İ. and Erler, A. 1998. Mineralization Events in a Collision-Related Setting: the central Anatolian Crystalline Complex, Turkey. International Geology Review, Vol.40, p.532-565.
- Oktay, F.Y. 1981. Savcılıbüyükoba (Kaman) çevresinde Orta Anadolu Masifi tortul örtüsünün jeolojisi ve sedimentolojisi. Doçentlik Tezi, İTÜ. Maden Fakültesi, İstanbul, 175.
- Seymen, İ. 1981a. Kaman (Kırşehir) dolayında Kırşehir masifinin stratigrafisi ve metamorfizması. TJK Bült., 24, 2, 101-108.
- Seymen, İ. 1981b. Kaman (Kırşehir) dolayında Kırşehir Masifinin metamorfizması. TJK 35. Bilimsel ve Teknik Kurultayı “İç Anadolu'nun Jeolojisi Sempozyumu”, 12-15.
- Seymen, İ. 1985. Kırşehir masifi metamorfitlerinin jeoloji evrimi. Türkiye Jeol. Kur., Ketin Sempozyumu, 133-148.
- Seymen, I. 2000. Geology of the Kırşehir massif between Savcılıbeyit (Kaman) and Yeşilli (Kırşehir) villages. Congress+ of Geosciences and Mining for the 75th Anniversary of the Turkish Republic, Proceedings, 67–91.
- Temiz, U. (2004). Kırşehir dolayının neotektoniği ve depremselliği (Doctoral dissertation, Doctoral thesis, Department of Geological Engineering, Ankara University).

- Temiz, U. ve Gökten, Y. E., 2011. Ms 6.8 19 Nisan 1938 Akpınar (Kırşehir) Depreminin Coulum Gerilme Analizi. Türkiye Jeoloji Bülteni Cilt No: 54, Sayı 3.
- Vache, R. 1963. Akdağmadeni kontakt yatakları ve bunların Orta Anadolu Kristaline karşı olan jeolojik çerçevesi. MTA Bült., 19, 22 – 36.

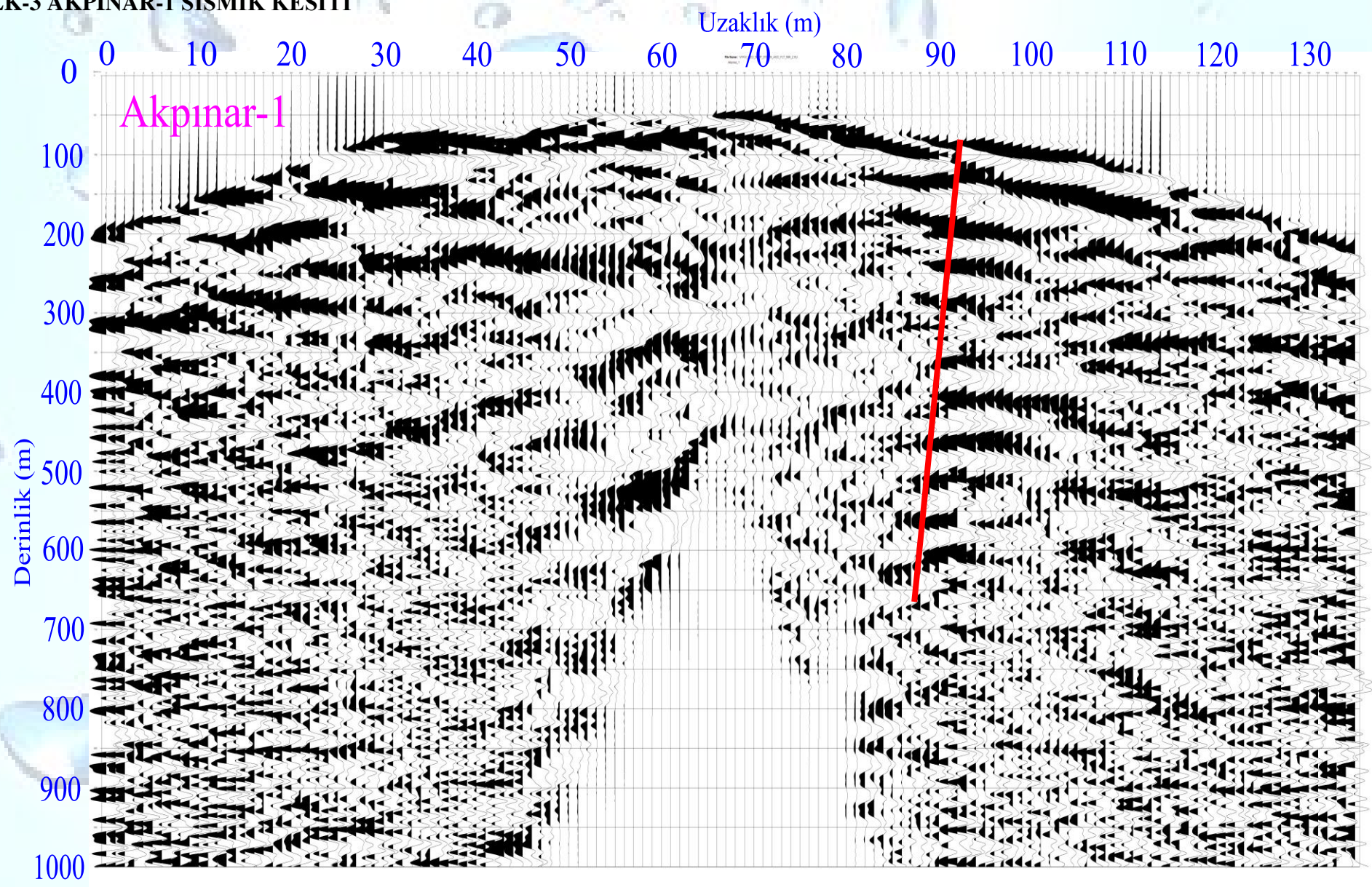
EK-2 SU ÖRNEĞİ KONUMLARI VE FİZİKOKİMYASAL DEĞİŞKENLER

Örnek Kodu	X (East)	Y (North)	Örnekleme Tarihi	Örnekleme Yeri	T (°C)	pH	EC (mS/cm)	TDS(g/L)	Sal	DO(%)	DO(mg/l)	Kaynak Türü
T-3	599685.6	4332622.6	29.11.2013	Isı Merkezi	49.6	6.58	1757	1.14	0.85	50.3	2.86	Sıcak Kuyu-Artezyen
T-9	599706	4332657	29.11.2013	Isı Merkezi	52.82	6.82	2087	1.356	1.02	55.1	2.9	Sıcak Kuyu-Artezyen
T-4	599625	4332543	29.11.2013	Isı Merkezi	56.01	6.5	2070	1.147	0.9	50	0.44	Sıcak Kuyu-Artezyen
T-12	599910	4332144	29.11.2013	İmam Hatip Yani	46.29	6.39	2383	1.58	1.21	18.1	1.12	Sıcak Kuyu-Artezyen
T-10	599384.3	4332103.3	29.11.2013	Temur Otelin Arkası	48.6	6.27	2070	1.377	1.04	0.4	0.02	Sıcak Kuyu-Artezyen
T-1	599490	4332487	29.11.2013	Grand Terme Otel	58.6	6.5	1815	1.18	0.87	4.1	0.18	Sıcak Kuyu-Artezyen
T-5	599490	4332487	29.11.2013	Grand Terme Otel	32	7.23	795	0.516	0.38	65.4	4.77	Sıcak Kuyu-Artezyen
T-7	599490	4332487	29.11.2013	Grand Terme Otel	35	6.59	1090	0.708	0.53	8.4	0.57	Sıcak Kuyu-Artezyen
T-11	599347.4	4332456.1	29.11.2013	Makissoş Otel Kuyusu	50.82	6.65	1673	1.083	0.8	46.3	2.52	Sıcak Kuyu-Artezyen
K-1	585380	4330486	29.11.2013	Kurutma Tesisi	50.07	6.68	1265	0.822	0.6	20	1.08	Sıcak Kuyu
KÇ-1	585195.6	4330453.5	29.11.2013	K. Tesisi Önü Çeşme	14.54	7.89	552	0.358	0.27	81	8.2	Soğuk Çeşme

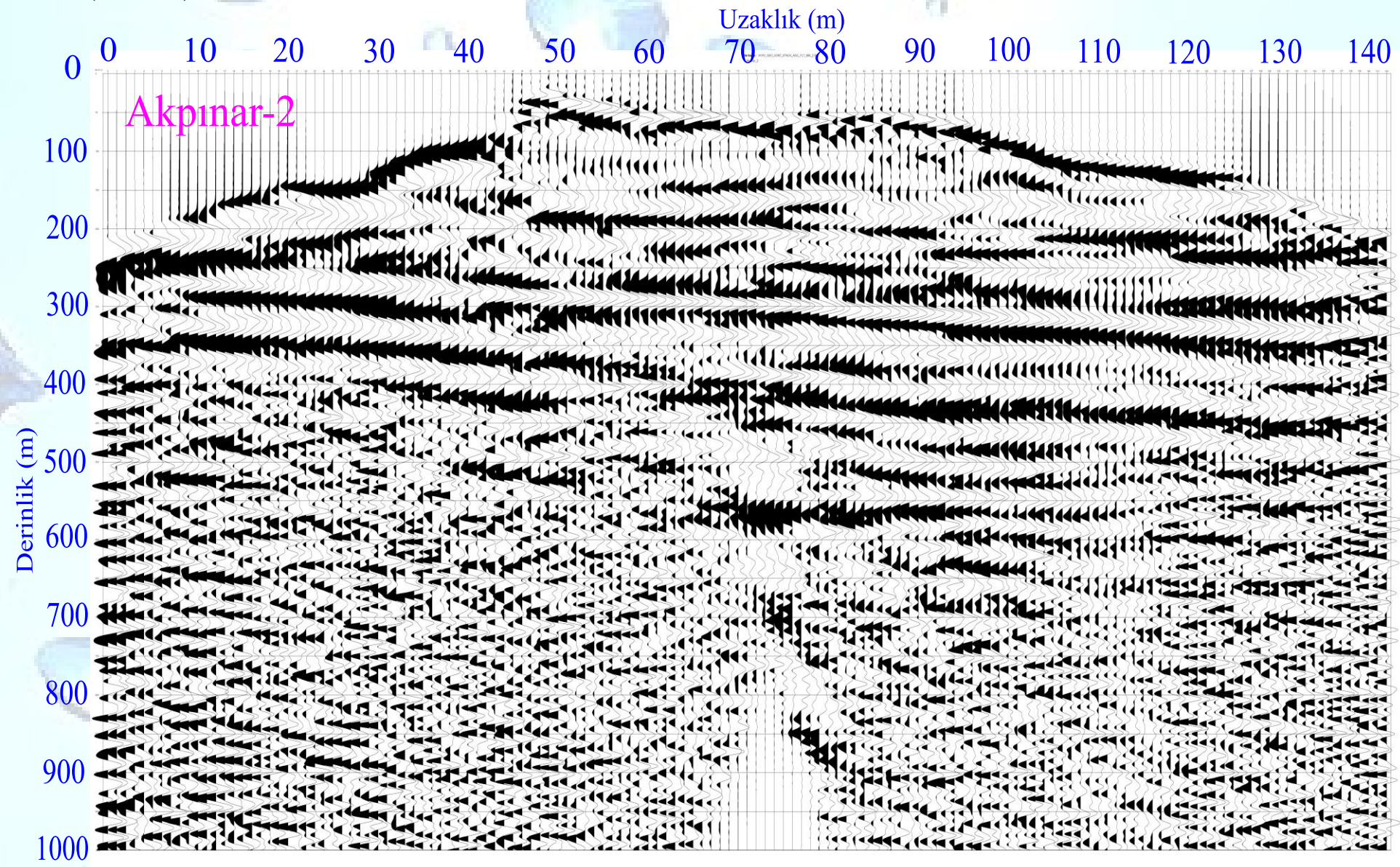
EK-2 (Devamı)

Örnek Kodu	X (East)	Y (North)	Örnekleme Tarihi	Örnekleme Yeri	T (°C)	pH	EC (mS/cm)	TDS(g/L)	Sal	DO(%)	DO(mg/l)	Kaynak Türü
SB-1	558006.1	4340948.1	29.11.2013	Savcılı Eski Hamamı	34.38	9.24	542	0.352	0.26	1.5	0.1	Doğal Kaynak
SBÇ-1	558645	4342232	29.11.2013	Savcılı Mezarlık Çeşme	13.85	8.29	649	0.418	0.31	104	10.45	Soğuk Çeşme
ÇM-2	628702	4368648	30.11.2013	Çiçekdağı - Yiğit Seracılık	75.37	6.77	6170	4.007	3.12	1.8	0.06	Sıcak Kuyu-Artezyen
ÇM-1	628702	4368648	30.11.2013	Çiçekdağı - Yiğit Seracılık	68.59	6.92	6281	4.082	3.2	25.4	1.01	Sıcak Kuyu-Artezyen
ÇDÇ-1	627395.8	4372949.5	30.11.2013	Doğankış Köyü Çeşmesi	13.33	8.4	810	0.525	0.4	92.6	9.59	Soğuk Çeşme
ÇB-1	626419.3	4385474.3	30.11.2013	Bulamaçlı - ÇB-1 Ruhsat Adlı	45.34	6.67	7388	4.801	3.94	30.1	1.74	Sıcak Kuyu-Artezyen
ÇAÇ-1	614451	4381569	30.11.2013	Akçakent Yolu Soğuk Su	11.64	7.63	567	0.369	0.28	90.3	9.77	Soğuk Çeşme
A-1	581365.3	4375872.1	30.11.2013	Akçakent Uyuz Hamamı	29.47	8.19	1499	0.974	0.62	61.7	4.67	Doğal Kaynak
HG-1	598770.1	4334496.1	01.12.2013	Hilla Gölü	19.45	7.08	711	0.462	0.3	71.7	6.57	Doğal Kaynak - Gölet
TC-1	599292	4332404	01.12.2013	Merkez - Terme Bölgesi	13.76	7.38	874	0.568	0.43	85.1	8.72	Soğuk Çeşme

EK-3 AKPINAR-1 SİSMİK KESİTİ



EK-3 (DEVAM) AKPINAR-2 SİSMİK KESİTİ



EK-4 KAYAÇ ÖRNEKLEME KONUM BİLGİLERİ

Kaya-1	627756.5	4366622.9	30.11.2013	Çiçekdağı - Kurumuş Kaynak
Kaya-2	580860.6	4376007.7	30.11.2013	Uyuz Hamam
Kaya-3	582233.8	4374980	30.11.2013	Akpınar Köyü Yakını
Kaya-4	582993	43729994	30.11.2013	Akpınar Köyü Yakını
Kaya-5	599658.5	4332511.3	01.12.2013	Merkez - Terme Bölgesi

